

Квантовая макрофизика.

Лекция 3. Свойства электронного ферми-газа.

Часть 1: Идеальный ферми-газ при $T=0$

Напоминание 1: Ферми- и бозе-частицы.

Классическая статистика
Больцмана

$$n \propto e^{-E/T}$$
$$n = e^{-(E-\mu)/T}$$

Напоминание 1: Ферми- и бозе-частицы.

Классическая статистика
Больцмана

$$n \propto e^{-E/T}$$
$$n = e^{-(E-\mu)/T}$$

Квантовая статистика: ферми- и бозе- частицы

Напоминание 1: Ферми- и бозе-частицы.

Классическая статистика
Больцмана

$$n \propto e^{-E/T}$$
$$n = e^{-(E-\mu)/T}$$

Квантовая статистика: ферми- и бозе- частицы

бозе-частицы (бозоны)

$$n = \frac{1}{e^{(E-\mu)/T} - 1}$$

целый спин;
произвольное число
частиц в одном состоянии.

Напоминание 1: Ферми- и бозе-частицы.

Классическая статистика
Больцмана

$$n \propto e^{-E/T}$$
$$n = e^{-(E-\mu)/T}$$

Квантовая статистика: ферми- и бозе- частицы

бозе-частицы (бозоны)

$$n = \frac{1}{e^{(E-\mu)/T} - 1}$$

целый спин;
произвольное число
частиц в одном состоянии.

ферми-частицы (фермионы)

$$n = \frac{1}{e^{(E-\mu)/T} + 1}$$

полуцелый спин;
не более одной частицы в
одном состоянии.

Напоминание 2: Химический потенциал

В термодинамике химпотенциал - функция состояния, «цена» добавления очередной частицы к системе

$$\begin{aligned}dU &= \dots + \mu dN \\dF &= \dots + \mu dN \\ \mu &= \left(\frac{\partial U}{\partial N} \right)_{S, V} = \left(\frac{\partial F}{\partial N} \right)_{T, V} = \dots\end{aligned}$$

Напоминание 2: Химический потенциал

В термодинамике химпотенциал - функция состояния, «цена» добавления очередной частицы к системе

$$\begin{aligned}dU &= \dots + \mu dN \\dF &= \dots + \mu dN \\ \mu &= \left(\frac{\partial U}{\partial N} \right)_{S, V} = \left(\frac{\partial F}{\partial N} \right)_{T, V} = \dots\end{aligned}$$

Следствие: в системе с «подстраиваемым» числом частиц (например — фононы) в равновесии энергия минимальна и химпотенциал равен нулю.

Свободный электрон

$$-\frac{\hbar^2}{2m} \Delta \Psi = E \Psi$$

$$\Psi = e^{i\vec{k}\vec{r}}$$

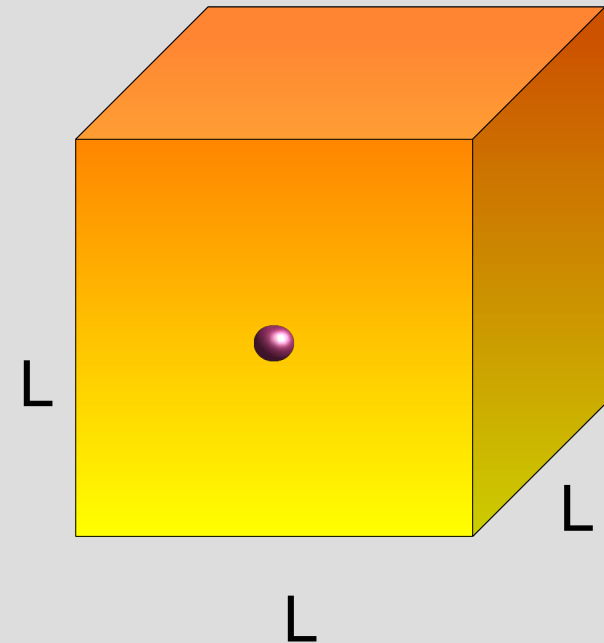
$$E = \frac{\hbar^2 k^2}{2m}$$

Граничные условия для свободного электрона

$$-\frac{\hbar^2}{2m} \Delta \Psi = E \Psi$$

$$\Psi = e^{i\vec{k}\vec{r}}$$

$$E = \frac{\hbar^2 k^2}{2m}$$



Граничные условия для свободного электрона

$$-\frac{\hbar^2}{2m} \Delta \Psi = E \Psi$$

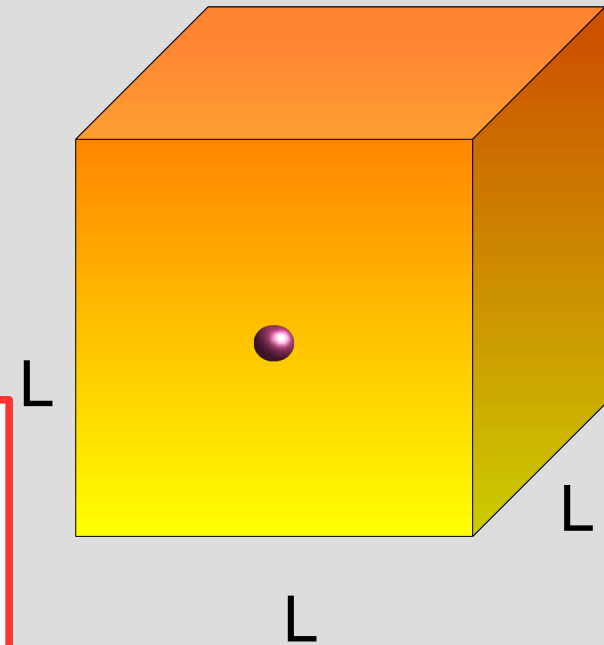
$$\Psi = e^{i\vec{k}\vec{r}}$$

$$E = \frac{\hbar^2 k^2}{2m}$$

Периодические
граничные условия

$$\psi(x, y, z) = \psi(x + L, y, z)$$

...



Граничные условия для свободного электрона

$$-\frac{\hbar^2}{2m} \Delta \Psi = E \Psi$$

$$\Psi = e^{i\vec{k}\vec{r}}$$

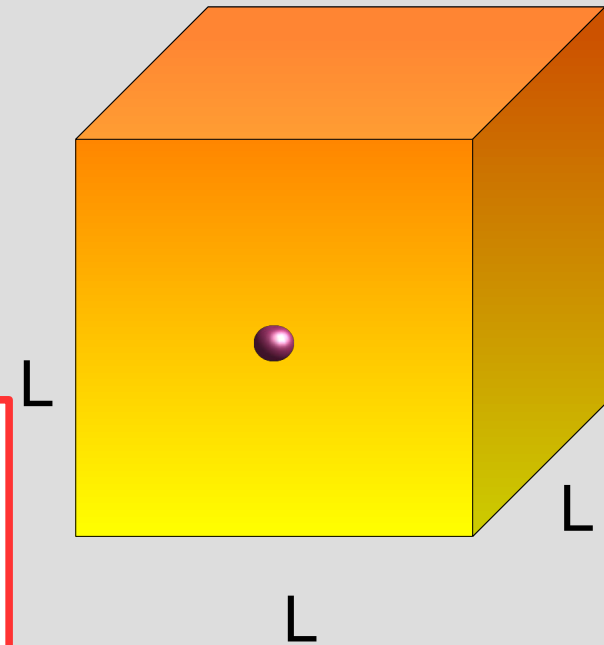
$$E = \frac{\hbar^2 k^2}{2m}$$

Периодические
граничные условия

$$\psi(x, y, z) = \psi(x + L, y, z)$$

...

$$k_x, k_y, k_z = 0, \pm \frac{2\pi}{L}, \pm \frac{4\pi}{L} \dots$$



Граничные условия для свободного электрона

$$-\frac{\hbar^2}{2m} \Delta \Psi = E \Psi$$

$$\Psi = e^{i\vec{k}\vec{r}}$$

$$E = \frac{\hbar^2 k^2}{2m}$$

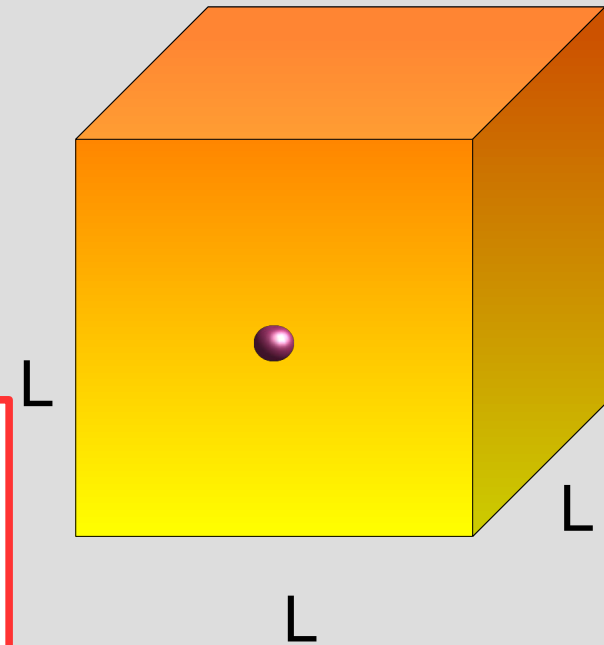
Периодические
граничные условия

$$\psi(x, y, z) = \psi(x + L, y, z)$$

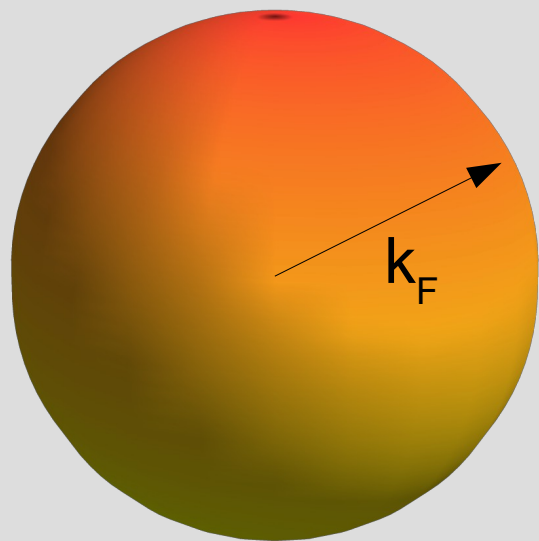
...

$$k_x, k_y, k_z = 0, \pm \frac{2\pi}{L}, \pm \frac{4\pi}{L}, \dots$$

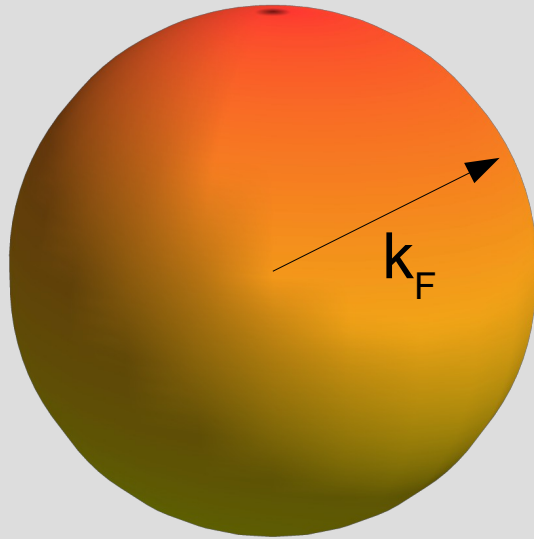
На одно состояние $\frac{(2\pi)^3}{V}$



Заполнение состояний при $T=0$.

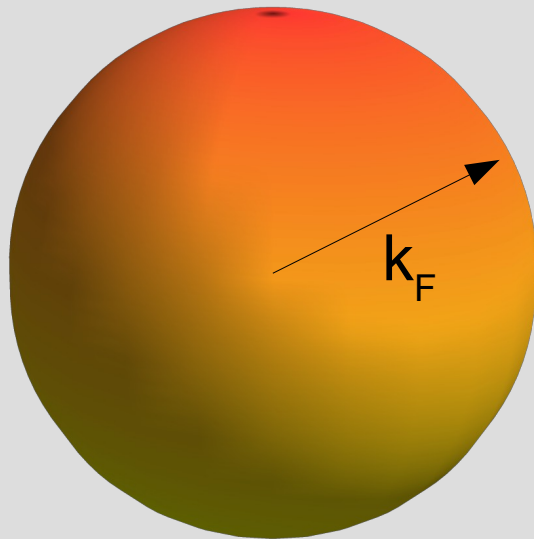


Заполнение состояний при $T=0$.



$$\frac{4}{3} \pi k_F^3 = \frac{N}{2} \frac{(2\pi)^3}{V} = (2\pi)^3 \frac{n}{2}$$

Заполнение состояний при $T=0$.



$$\frac{4}{3} \pi k_F^3 = \frac{N}{2} \frac{(2\pi)^3}{V} = (2\pi)^3 \frac{n}{2}$$

$$k_F = \sqrt[3]{3\pi^2 n}$$
$$E_F = \frac{\hbar^2}{2m} (3\pi^2 n)^{2/3}$$

Сравнение с другими (уже изученными) волновыми векторами

модель Дебая для фононов

дебаевский
волновой
вектор

$$k_D = \sqrt[3]{6 \pi^2 n}$$

*количество примитивных
элементарных ячеек в
единице объёма*

модель Ферми-газа

фермиевский
волновой
вектор

$$k_F = \sqrt[3]{3 \pi^2 n}$$

*количество фермионов (спин 1/2) в
единице объёма*

граница зоны Бриллюэна

$$k_{Br} \sim \frac{\pi}{a} \sim \pi \sqrt[3]{n}$$

Сравнение с другими (уже изученными) волновыми векторами

модель Дебая для фононов

дебаевский
волновой
вектор

$$k_D = \sqrt[3]{6 \pi^2 n}$$

количество примитивных
элементарных ячеек
единицы объёма

модель Ферми-газа

фермиевский
волновой
вектор

$$k_F = \sqrt[3]{3 \pi^2 n}$$

количество фермионов (спин 1/2) в

Все характерные
волновые вектора
одного порядка!

$$k_{Br} \sim \frac{\pi}{a} \sim \pi \sqrt[3]{n}$$

Энергия Ферми и импульс Ферми. Порядки величины для металлов.

$$p_F = \hbar k_F$$

импульс Ферми

$$E_F = \frac{\hbar^2 k_F^2}{2m} = \frac{\hbar^2}{2m} (3\pi^2 n)^{2/3}$$

энергия Ферми

$$V_F = \left. \frac{\partial E}{\partial \vec{p}} \right|_{E=E_F} = \frac{p_F}{m} = \sqrt{\frac{2E_F}{m}}$$

скорость Ферми

Энергия Ферми и импульс Ферми. Порядки величины для металлов.

$$p_F = \hbar k_F$$

импульс Ферми

$$E_F = \frac{\hbar^2 k_F^2}{2m} = \frac{\hbar^2}{2m} (3\pi^2 n)^{2/3}$$

энергия Ферми

$$V_F = \left. \frac{\partial E}{\partial \vec{p}} \right|_{E=E_F} = \frac{p_F}{m} = \sqrt{\frac{2E_F}{m}}$$

скорость Ферми

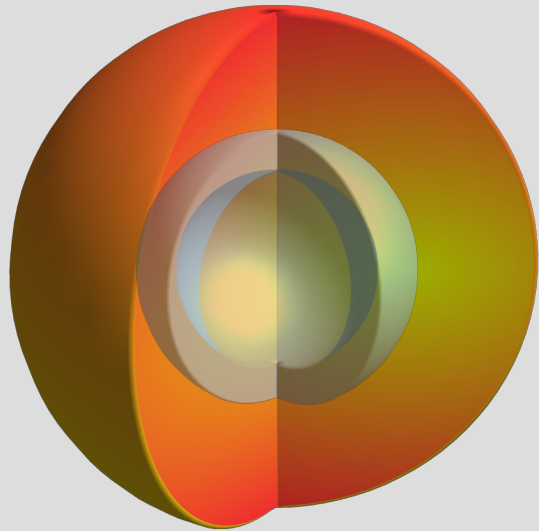
для типичного металла: постоянная решётки 2\AA ,
концентрация электронов 10^{23} 1/см^3

$$k_F \simeq 10^8 \text{ 1/см}$$

$$V_F \simeq 1000 \text{ км/сек}$$

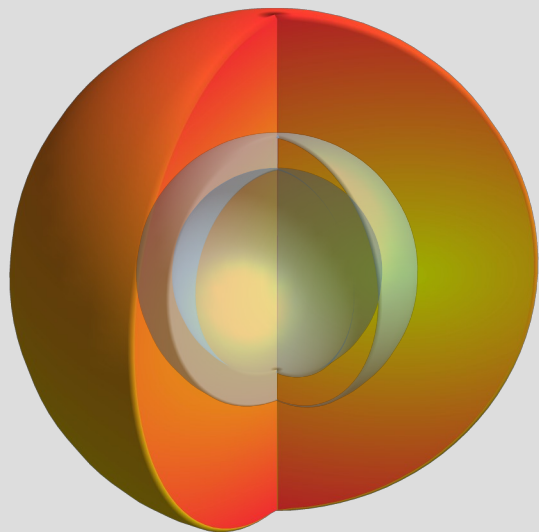
$$E_F \simeq 5 \cdot 10^{-12} \text{ эрг} \simeq 3 \text{ эВ}$$

Плотность состояний для ферми газа. 3D.



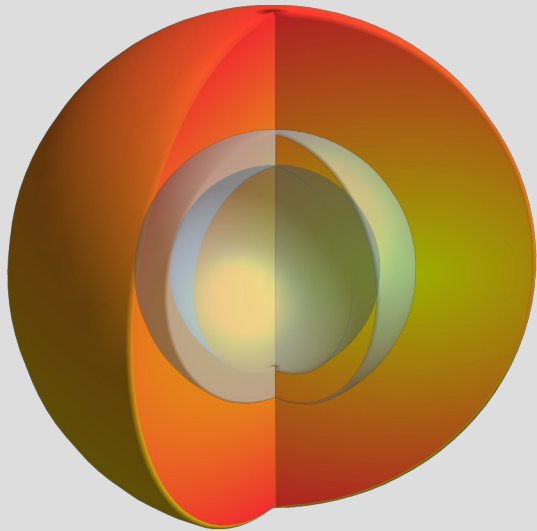
$$D(E) = \frac{dN}{dE} = \frac{V}{(2\pi)^3} \frac{2dV_k}{dE} =$$

Плотность состояний для ферми газа. 3D.



$$\begin{aligned} D(E) &= \frac{dN}{dE} = \frac{V}{(2\pi)^3} \frac{2dV_k}{dE} = \\ &= \frac{V}{(2\pi)^3} \frac{2 \times 4\pi k^2 dk}{\hbar^2 k dk / m} = \frac{V}{\pi^2 \hbar^2} m k = \frac{V}{\pi^2 \hbar^3} \sqrt{2m^3 E} \end{aligned}$$

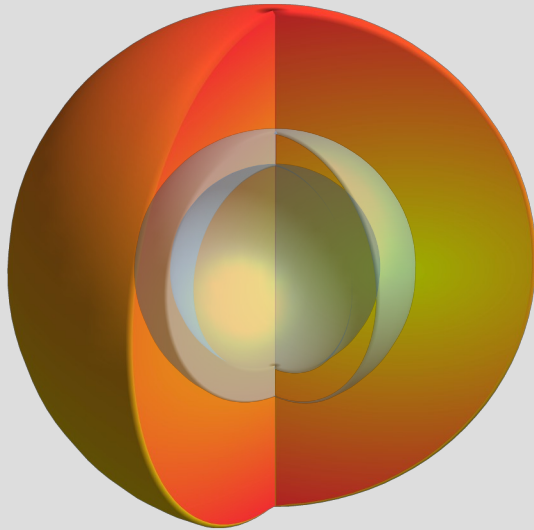
Плотность состояний для ферми газа. 3D.



$$D(E) = \frac{dN}{dE} = \frac{V}{(2\pi)^3} \frac{2dV_k}{dE} =$$
$$= \frac{V}{(2\pi)^3} \frac{2 \times 4\pi k^2 dk}{\hbar^2 k dk / m} = \frac{V}{\pi^2 \hbar^2} m k = \frac{V}{\pi^2 \hbar^3} \sqrt{2m^3 E}$$

$$E_F = \frac{\hbar^2}{2m} (3\pi^2 n)^{2/3} \rightarrow m^3 = \frac{\hbar^6}{8E_F^3} (3\pi^2 n)^2$$

Плотность состояний для ферми газа. 3D.



$$D(E) = \frac{dN}{dE} = \frac{V}{(2\pi)^3} \frac{2dV_k}{dE} =$$

$$= \frac{V}{(2\pi)^3} \frac{2 \times 4\pi k^2 dk}{\hbar^2 k dk / m} = \frac{V}{\pi^2 \hbar^2} m k = \frac{V}{\pi^2 \hbar^3} \sqrt{2m^3 E}$$

$$E_F = \frac{\hbar^2}{2m} (3\pi^2 n)^{2/3} \rightarrow m^3 = \frac{\hbar^6}{8 E_F^3} (3\pi^2 n)^2$$

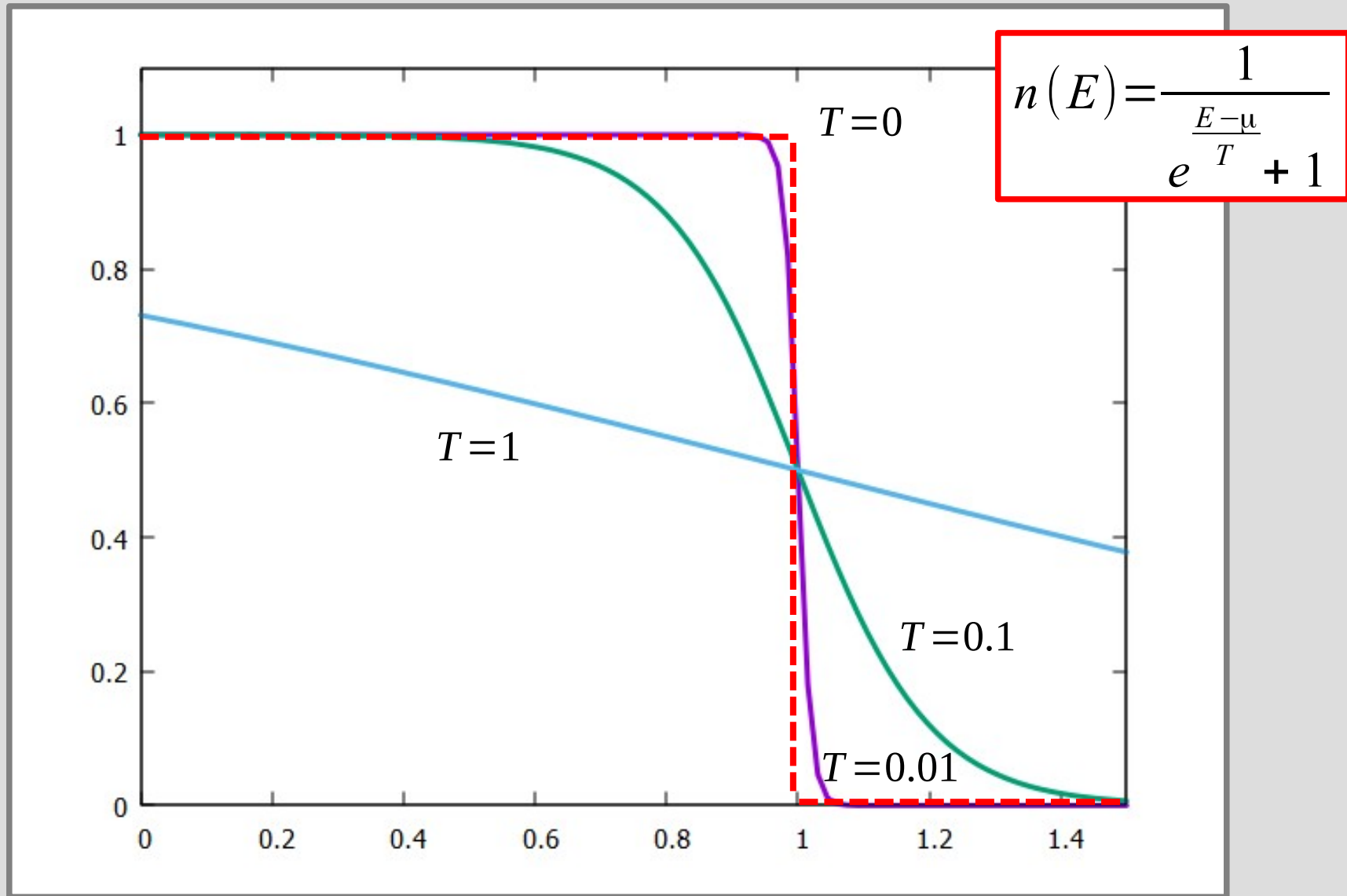
$$D(E) = \frac{3N}{2E_F} \sqrt{\frac{E}{E_F}}$$

$$D(E_F) = \frac{3N}{2E_F}$$

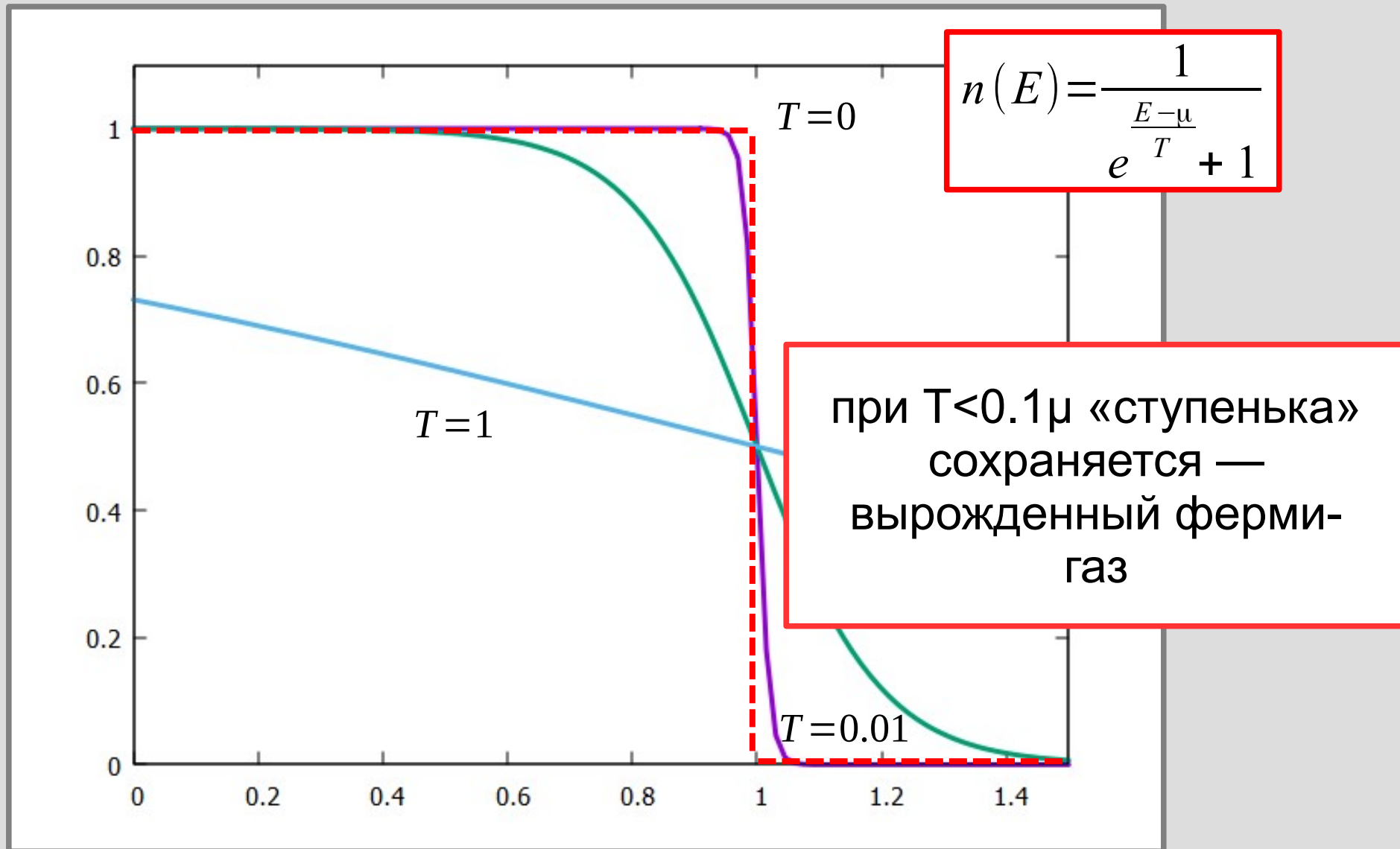


Часть 2. Вырожденный ферми-газ

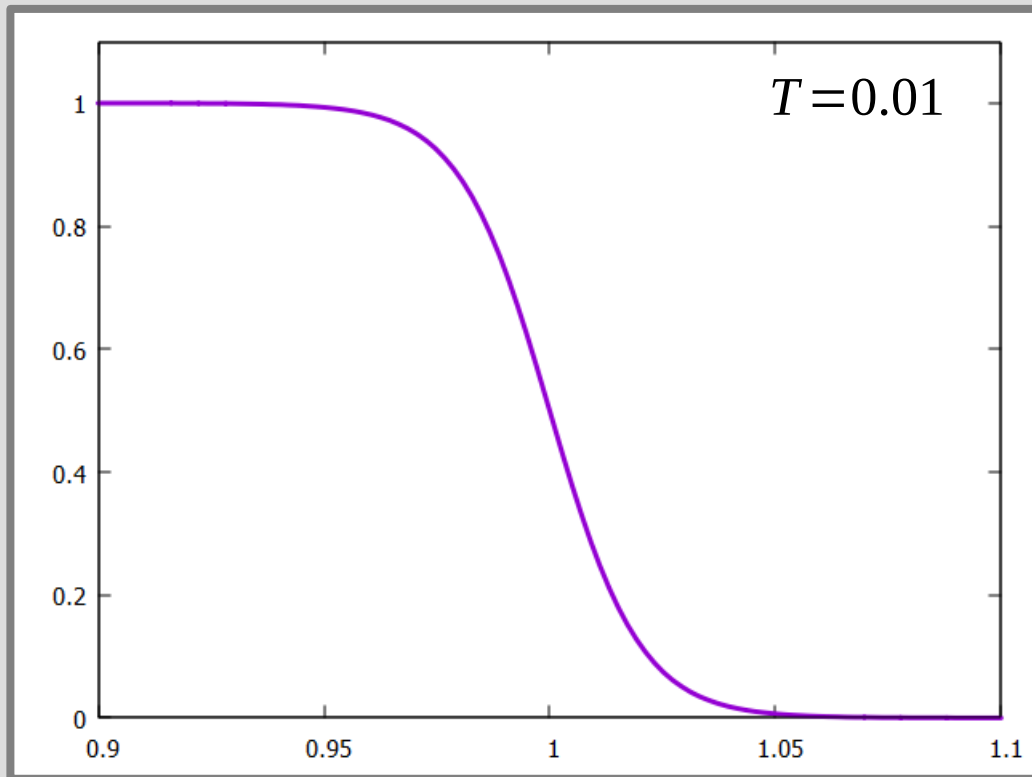
Идеальный ферми-газ при конечной температуре.



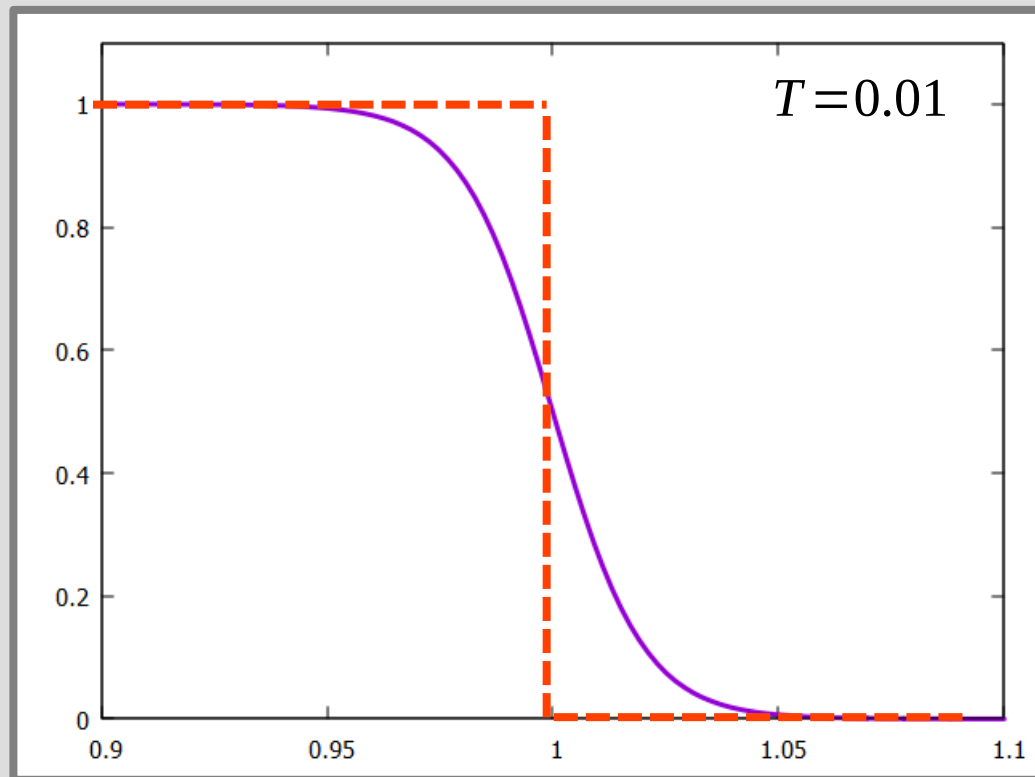
Идеальный ферми-газ при конечной температуре.



Зависимость химпотенциала от температуры.

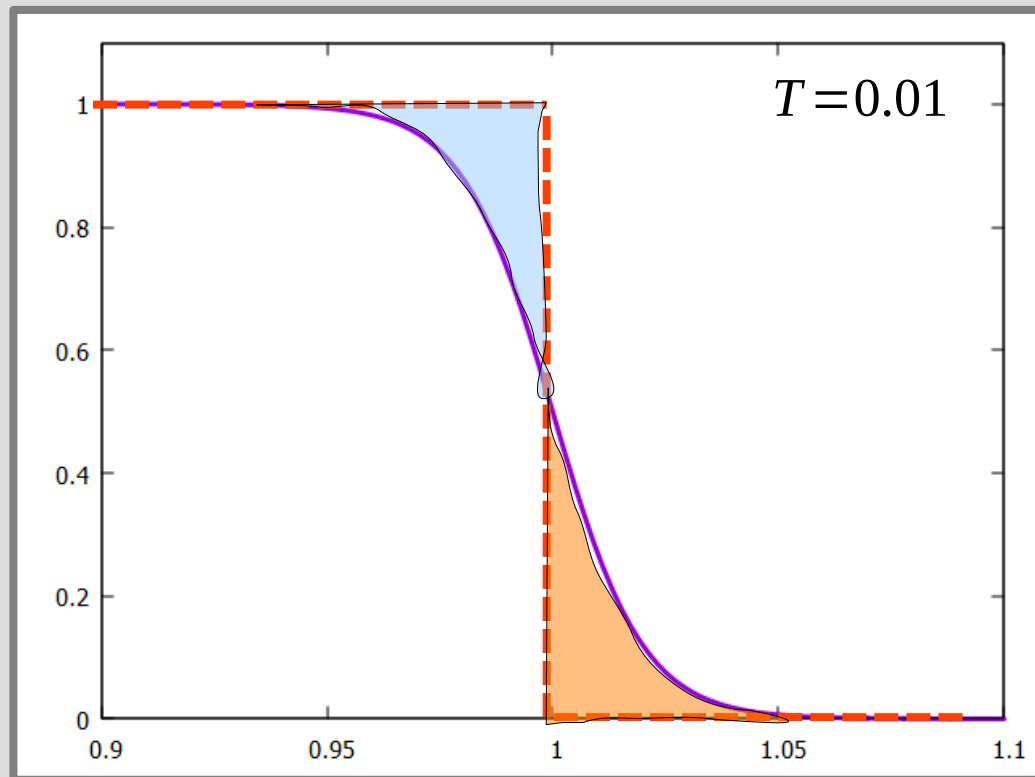


Зависимость химпотенциала от температуры.



$$N = \int_0^{\infty} n(E) D(E) dE$$

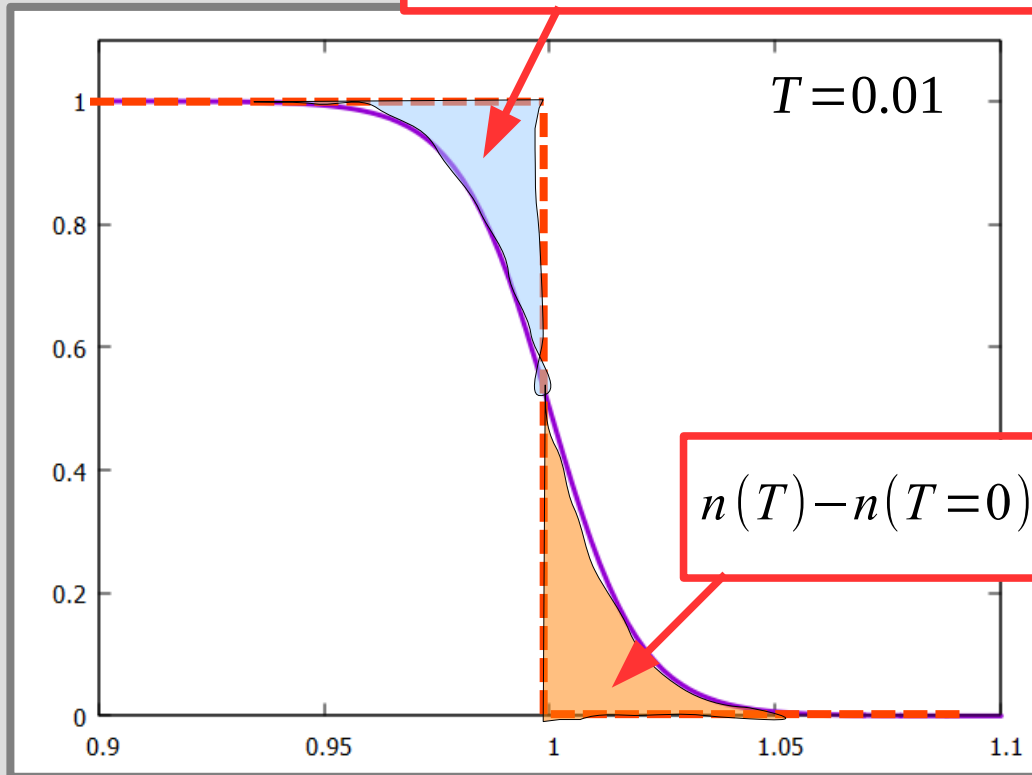
Зависимость химпотенциала от температуры.



$$N = \int_0^{\infty} n(E) D(E) dE$$

Зависимость химпотенциала от

$$n(T=0) - n(T) = 1 - \frac{1}{e^{(E-\mu)/T} + 1} = \frac{1}{e^{|E-\mu|/T} + 1}$$

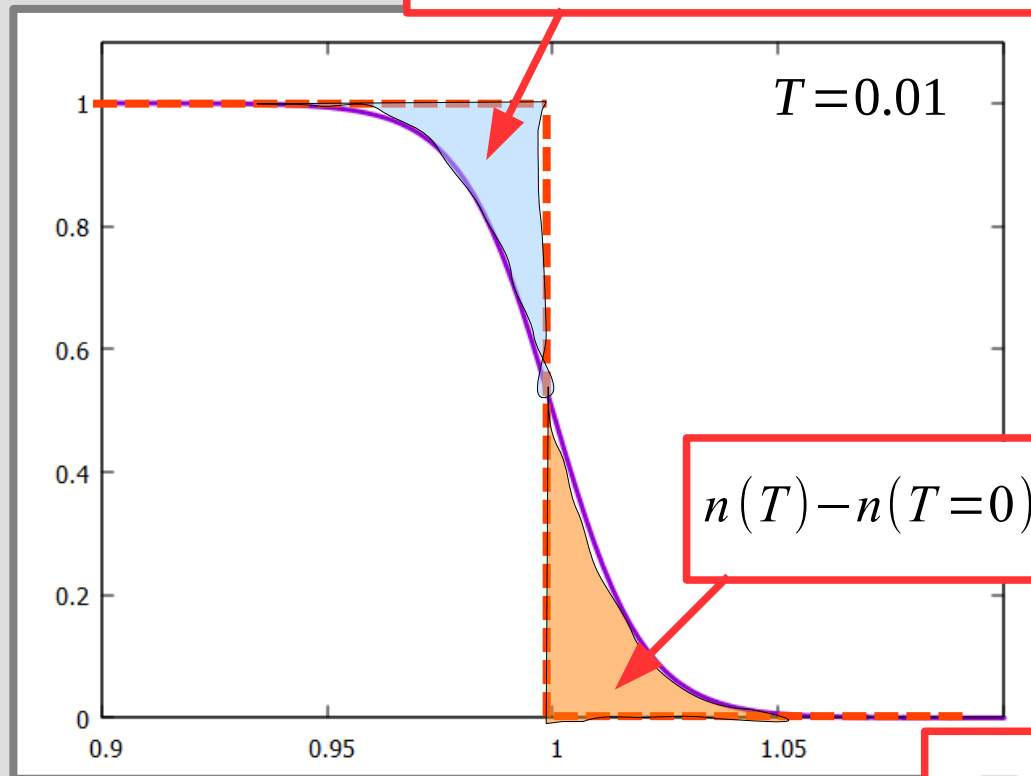


$$N = \int_0^{\infty} n(E) D(E) dE$$

$$n(T) - n(T=0) = \frac{1}{e^{|E-\mu|/T} + 1}$$

Зависимость химпотенциала от

$$n(T=0) - n(T) = 1 - \frac{1}{e^{(E-\mu)/T} + 1} = \frac{1}{e^{|E-\mu|/T} + 1}$$



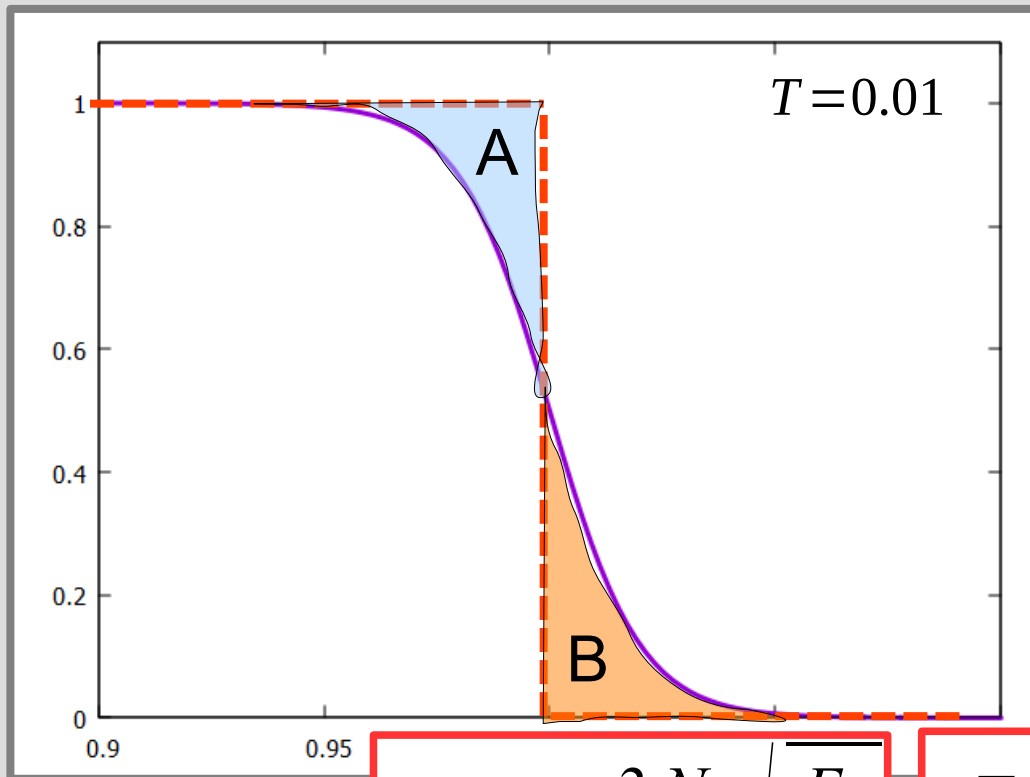
$$N = \int_0^{\infty} n(E) D(E) dE$$

$$n(T) - n(T=0) = \frac{1}{e^{|E-\mu|/T} + 1}$$

Площади «треугольников»

$$\int_0^{\infty} \frac{1}{e^{\varepsilon/T} + 1} d\varepsilon = T \int_0^{\infty} \frac{dx}{e^x + 1} = T \ln 2$$

Зависимость химпотенциала от температуры.



$$N = \int_0^{\infty} n(E) D(E) dE$$

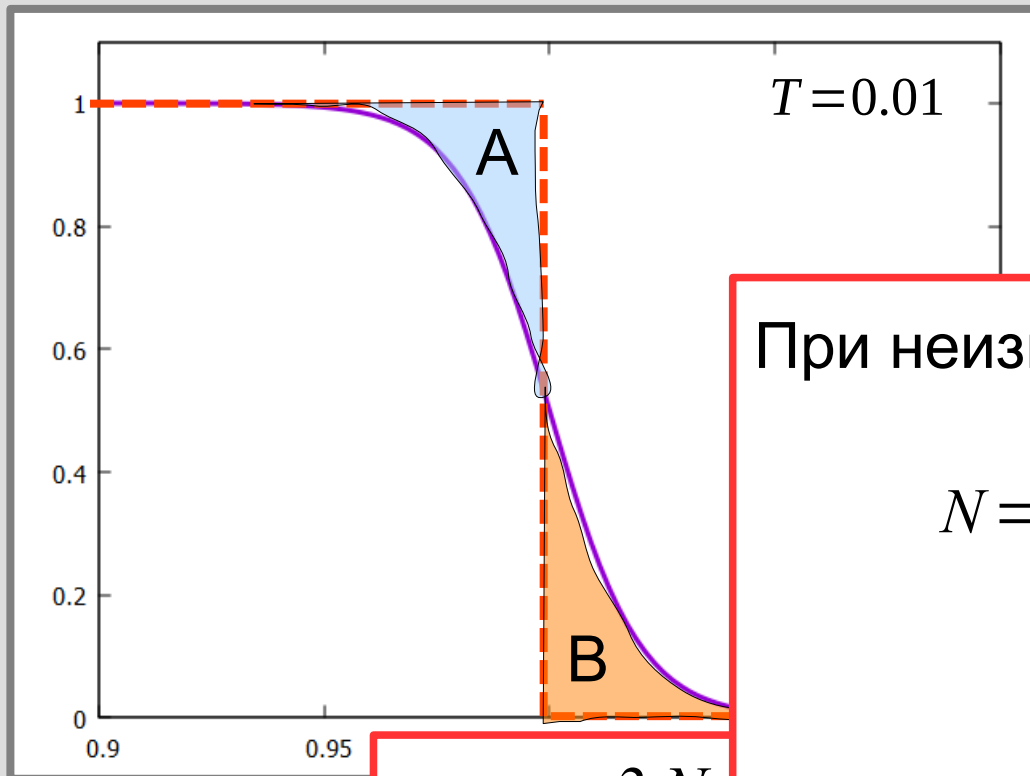
$$D(E) = \frac{3N}{2E_F} \sqrt{\frac{E}{E_F}}$$

$$D_B \approx D_A + \frac{3N}{4E_F^2} T$$

Площади «треугольников»

$$\int_0^{\infty} \frac{1}{e^{\varepsilon/T} + 1} d\varepsilon = T \int_0^{\infty} \frac{dx}{e^x + 1} = T \ln 2$$

Зависимость химпотенциала от температуры.



$$N = \int_0^{\infty} n(E) D(E) dE$$

При неизменном химпотенциале

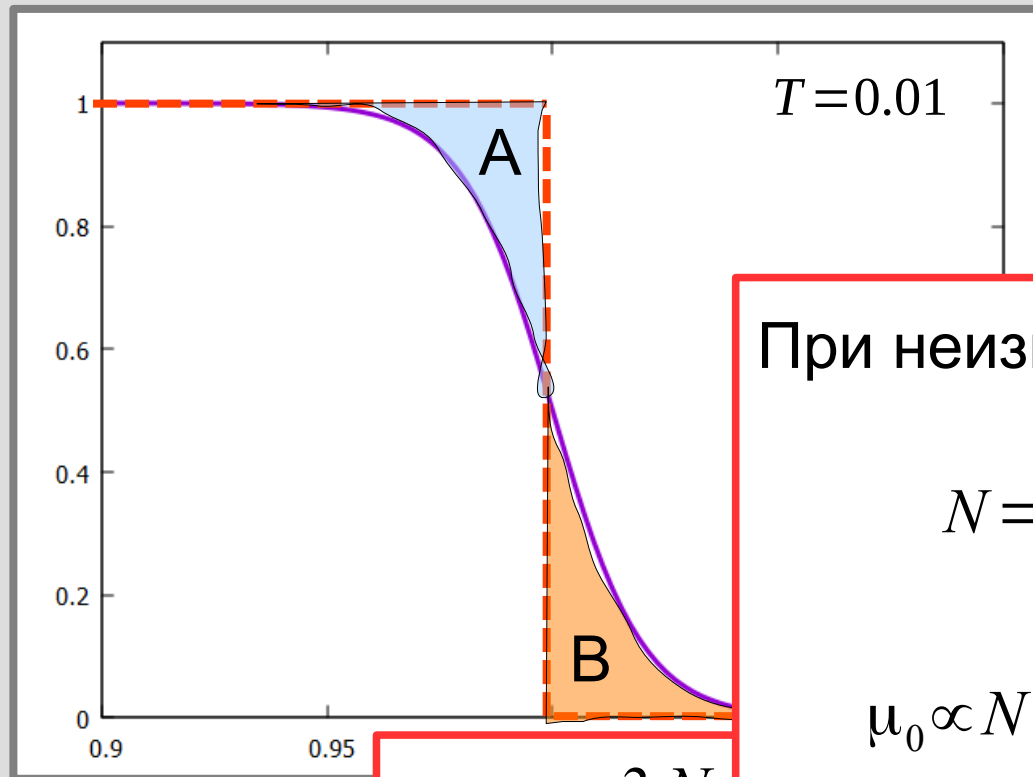
$$N = N_0 \left(1 + a \frac{T^2}{E_F^2} \right) \neq N_0$$

$$D(E) = \frac{3N}{2E_F \sqrt{E_F}}$$

$$D_B \approx D_A + \frac{3N}{4E_F^2} T$$

$$\int_0^{\infty} \frac{1}{e^{\varepsilon/T} + 1} d\varepsilon = T \int_0^{\infty} \frac{dx}{e^x + 1} = T \ln 2$$

Зависимость химпотенциала от температуры.



$$N = \int_0^{\infty} n(E) D(E) dE$$

При неизменном химпотенциале

$$N = N_0 \left(1 + a \frac{T^2}{E_F^2} \right) \neq N_0$$

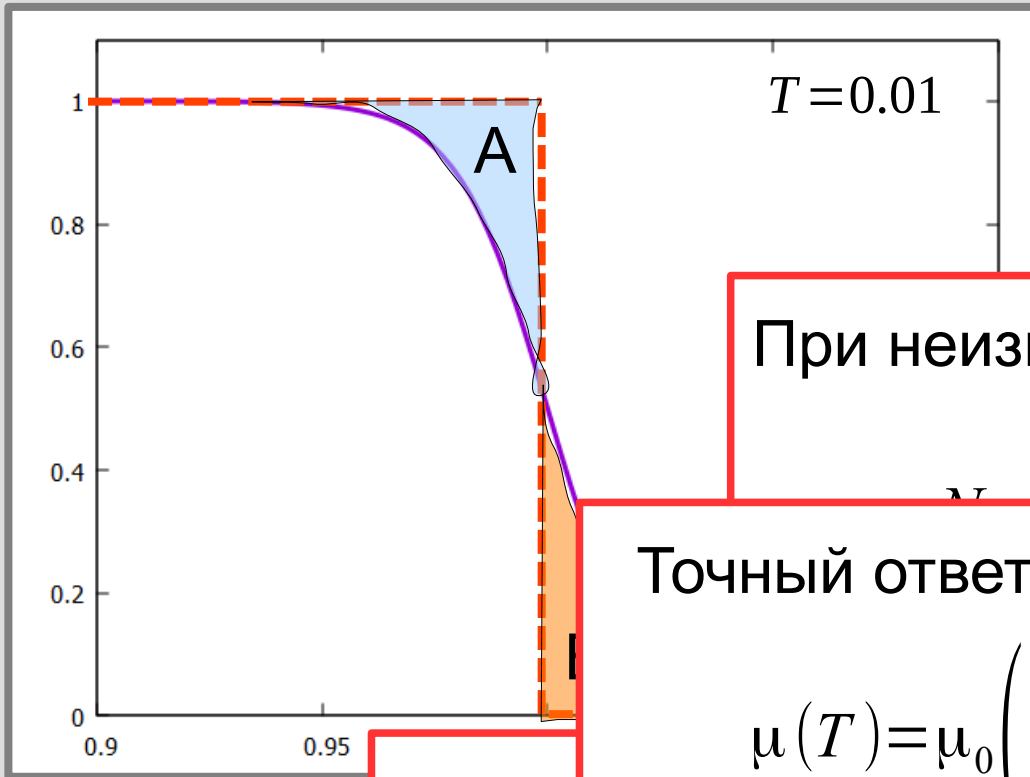
$$\mu_0 \propto N^{2/3} \rightarrow \mu(T) = \mu_0 \left(1 - b \frac{T^2}{\mu_0^2} \right)$$

$$D(E) = \frac{3N}{2E_F \sqrt{E_F}}$$

$$D_B \approx D_A + \frac{3N}{4E_F^2} T$$

$$\int_0^{\infty} \frac{1}{e^{\varepsilon/T} + 1} d\varepsilon = T \int_0^{\infty} \frac{dx}{e^x + 1} = T \ln 2$$

Зависимость химпотенциала от температуры.



$$N = \int_0^{\infty} n(E) D(E) dE$$

При неизменном химпотенциале

Точный ответ:

$$\mu(T) = \mu_0 \left(1 - \frac{\pi^2}{12} \frac{T^2}{\mu_0^2} \right)$$

$$D(E) =$$

$$D_B \approx D_A + \frac{3N}{4E_F^2} T$$

$$\int_0^{\infty} \frac{dx}{e^{x/T} + 1} = T \ln 2$$



Часть 3. Энергия и давление ферми-газа, фотоэффект и термо-ЭДС

Энергия и давление нерелятивистского ферми-газа при $T=0$.

$$E = \int_0^{E_F} E D(E) dE = \frac{3N}{2E_F^{3/2}} \int_0^{E_F} E^{3/2} dE = \frac{3}{5} N E_F$$

$$E_F = \frac{\hbar^2 k_F^2}{2m} = \frac{\hbar^2}{2m} (3\pi^2 n)^{2/3}$$

Энергия и давление нерелятивистского ферми-газа при $T=0$.

$$E = \int_0^{E_F} E D(E) dE = \frac{3N}{2E_F^{3/2}} \int_0^{E_F} E^{3/2} dE = \frac{3}{5} N E_F$$

$$E_F = \frac{\hbar^2 k_F^2}{2m} = \frac{\hbar^2}{2m} (3\pi^2 n)^{2/3}$$

$$P = -\frac{\partial E}{\partial V} \quad \Rightarrow \quad P = -\frac{\partial}{\partial V} \left[\frac{3}{5} N E_F^{(0)} \left(\frac{V^{(0)}}{V} \right)^{2/3} \right] = \frac{2}{5} n E_F$$

Энергия и давление нерелятивистского ферми-газа при $T=0$.

$$E = \int_0^{E_F} E D(E) dE = \frac{3N}{2E_F^{3/2}} \int_0^{E_F} E^{3/2} dE = \frac{3}{5} N E_F$$

$$E_F = \frac{\hbar^2 k_F^2}{2m} = \frac{\hbar^2}{2m} (3\pi^2 n)^{2/3}$$

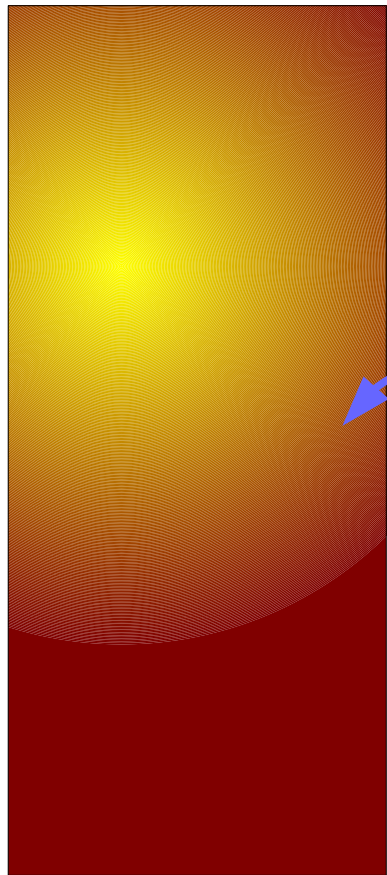
для параметров типичного металла:

$$10^{11} \text{ дин/см}^2 = 10^8 \text{ Па} = 1000 \text{ атм}$$

в нейтронных звёздах это давление противостоит гравитационному сжатию

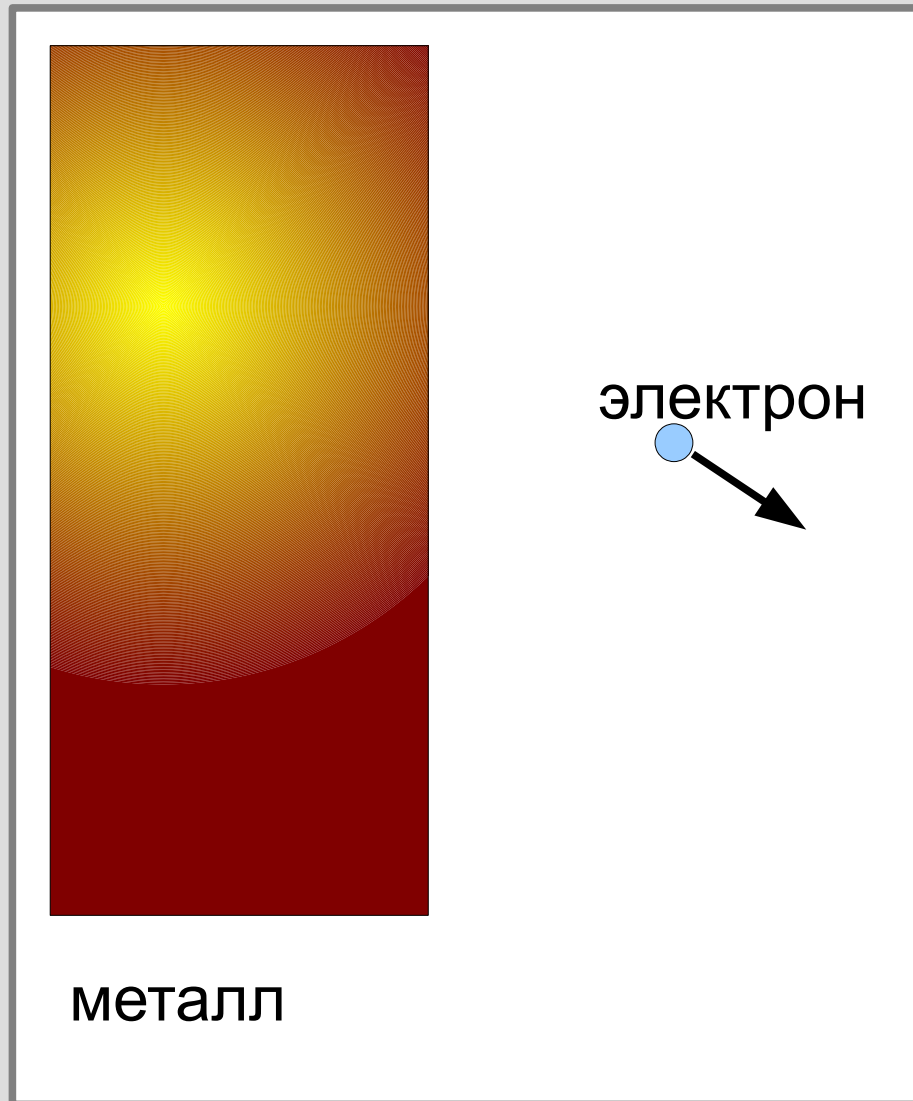
$$-\frac{\partial}{\partial V} \left[\frac{3}{5} N E_F^{(0)} \left(\frac{V^{(0)}}{V} \right)^{2/3} \right] = \frac{2}{5} n E_F$$

Ферми-газ и работа выхода.

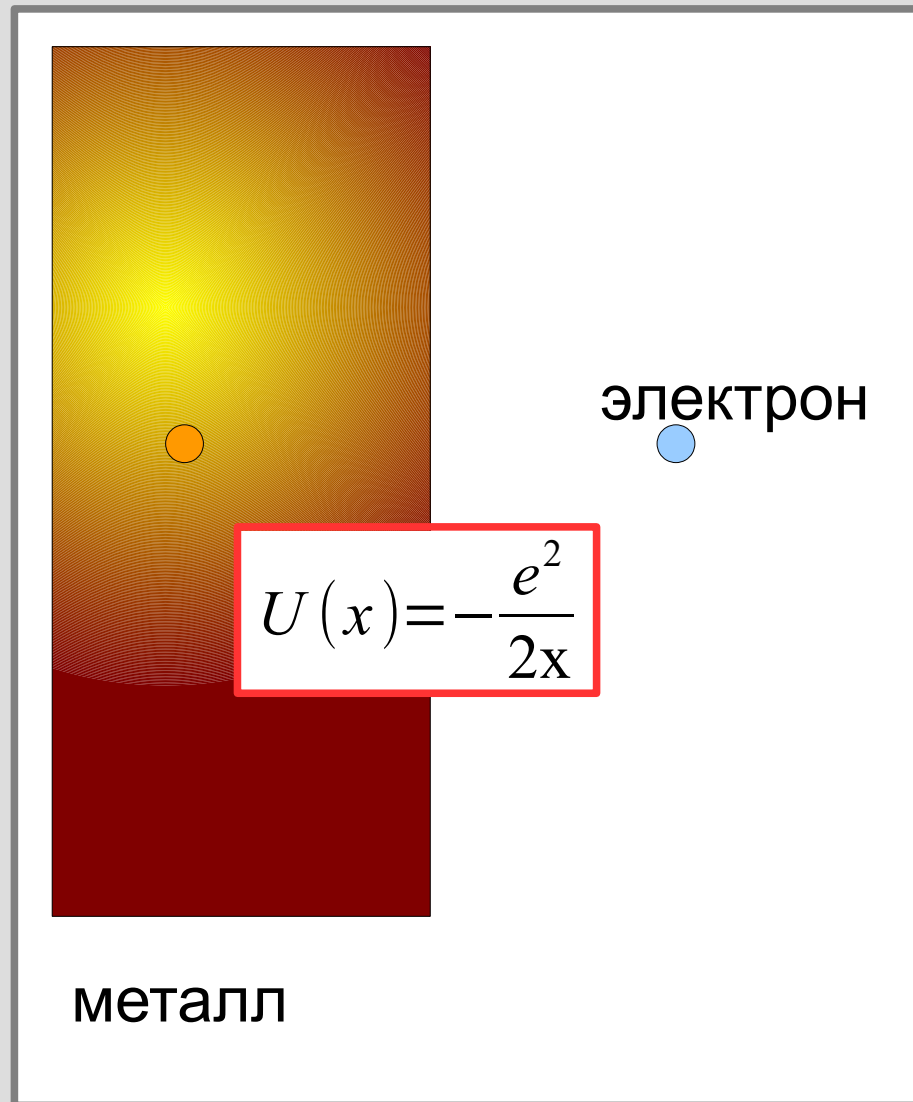


металл

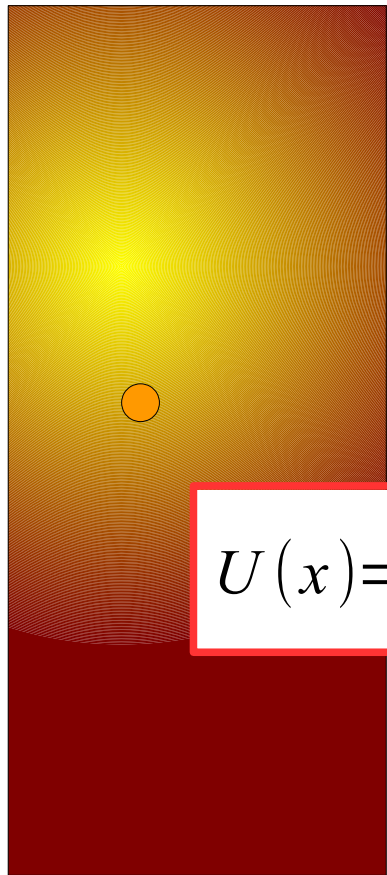
Ферми-газ и работа выхода.



Ферми-газ и работа выхода.



Ферми-газ и работа выхода.



$$U(x) = -\frac{e^2}{2x}$$

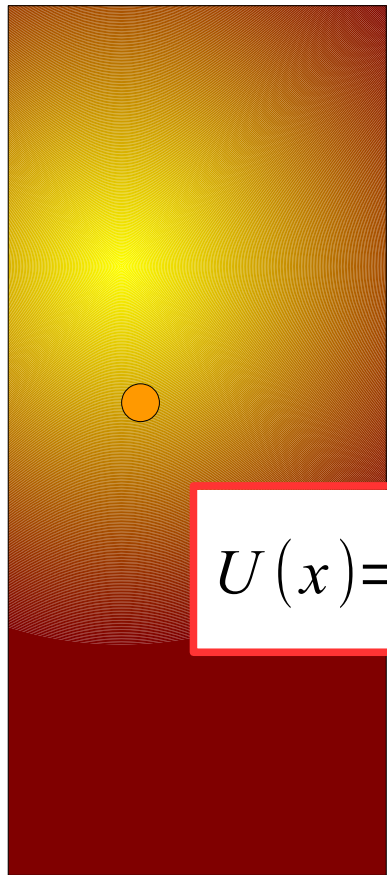
электрон

металл

$$x_{min} \sim \lambda_{dB} = \frac{2\pi}{k}$$

$$U_{min} \sim -\frac{e^2 k_F}{4\pi} = -\frac{e^2 \sqrt[3]{3\pi^2 n}}{4\pi} \simeq -\frac{e^2}{4} \sqrt[3]{n}$$

Ферми-газ и работа выхода.



электрон

$$U(x) = -\frac{e^2}{2x}$$

металл

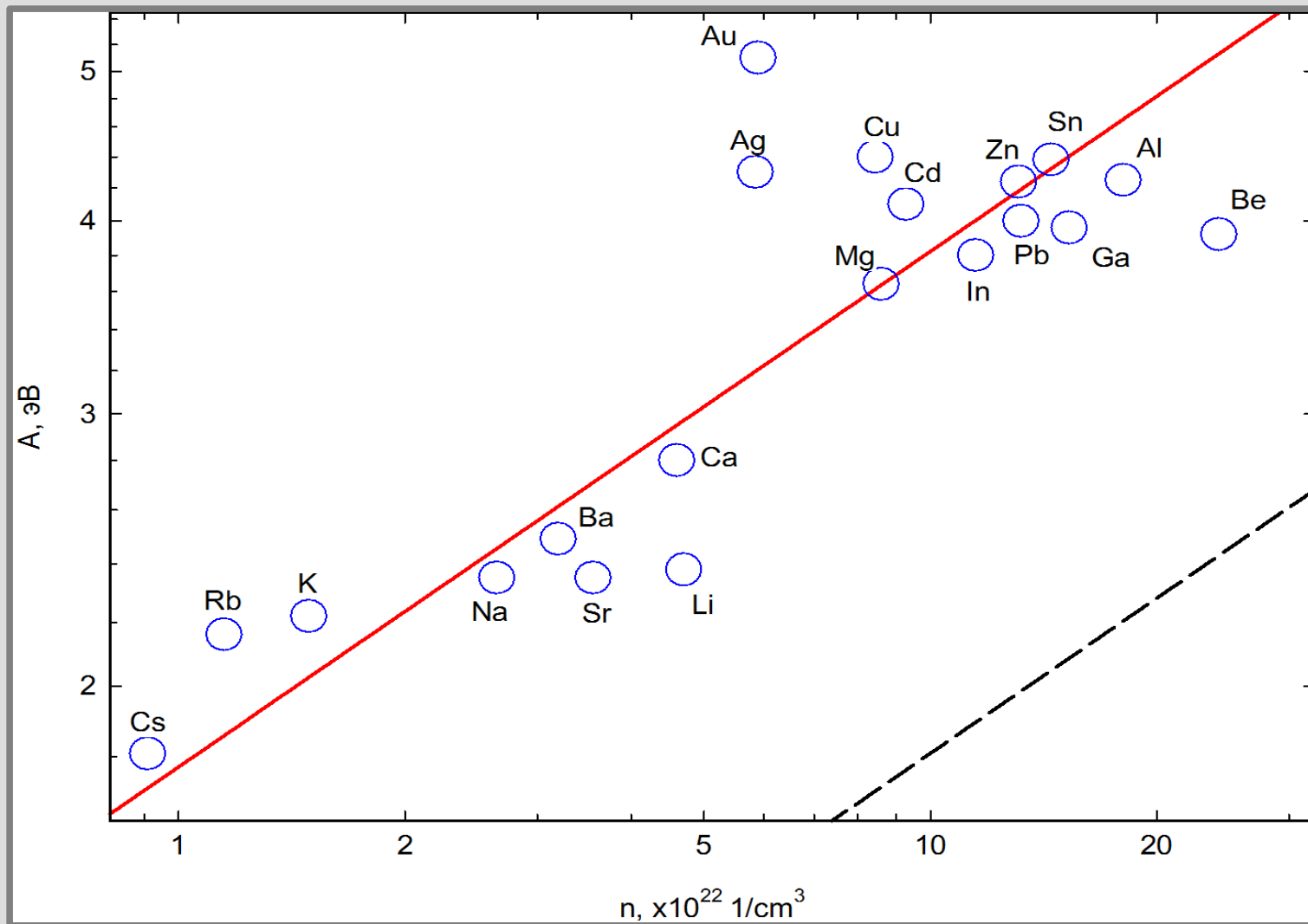
$$x_{min} \sim \lambda_{dB} = \frac{2\pi}{k}$$

$$U_{min} \sim -\frac{e^2 k_F}{4\pi} = -\frac{e^2 \sqrt[3]{3\pi^2 n}}{4\pi} \simeq -\frac{e^2}{4} \sqrt[3]{n}$$

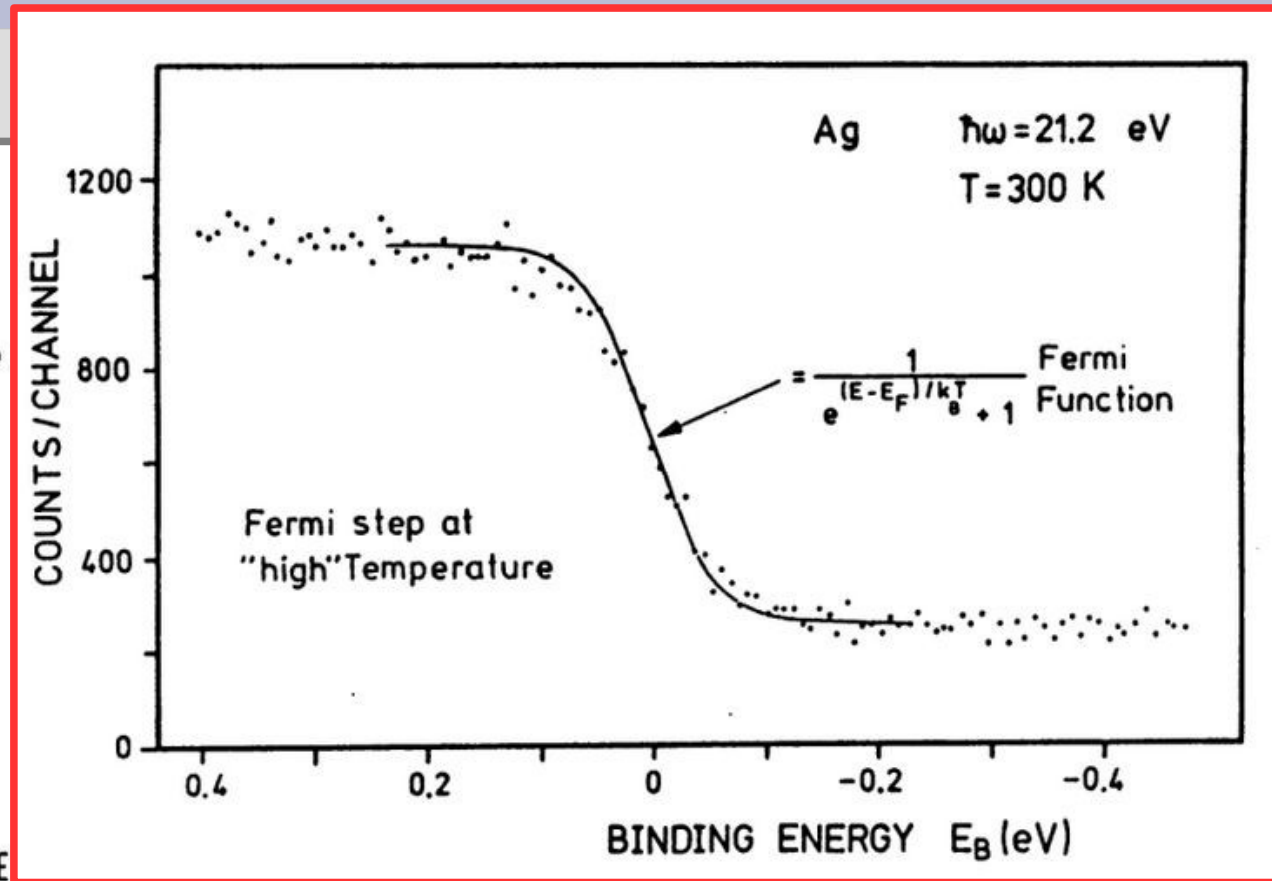
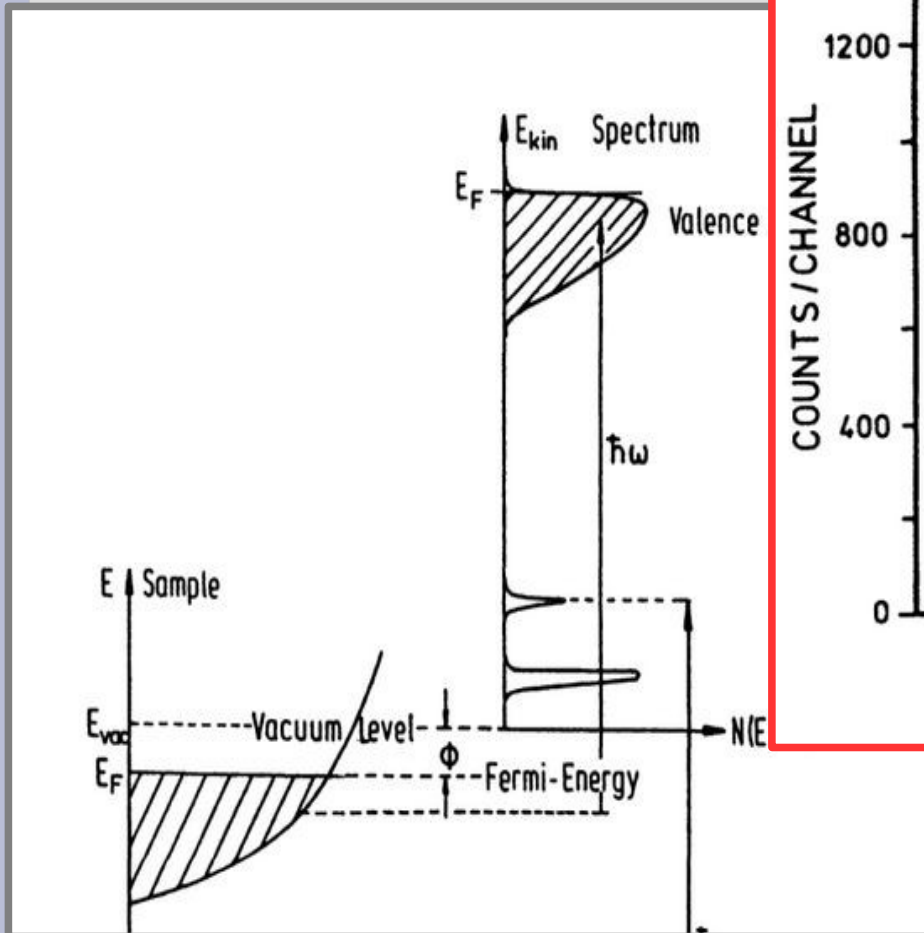
$$n \simeq 10^{23} \text{ 1/cm}^3$$

$$A = 1.7 \text{ эВ}$$

Работа выхода разных металлов.

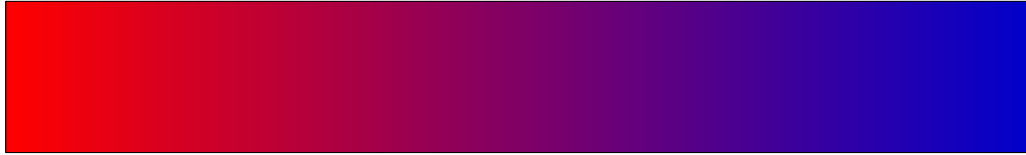


Зависимость количества фотоэлектронов от их энергии.



Слева: схема спектра электронов в металле и связь спектра электронов в металле с энергетическим спектром фотоэлектронов. Справа: граница спектра фотоэлектронов из серебряного фотокатода, отражающая форму функции распределения при комнатной температуре.

Электрохимический потенциал



A horizontal bar with a color gradient from red on the left to blue on the right, representing a temperature gradient. The left end is labeled 'A' and the right end is labeled 'B'. Below the bar, the text $T_A > T_B$ indicates that the temperature at A is higher than at B.

$$\mu(T) = \mu_0 \left(1 - \frac{\pi^2}{12} \frac{T^2}{\mu_0^2} \right)$$

Электрохимический потенциал



A

$$T_A > T_B$$

B

$$\mu(T) = \mu_0 \left(1 - \frac{\pi^2}{12} \frac{T^2}{\mu_0^2} \right)$$

Электрохимический потенциал



A

$$T_A > T_B$$

B

$$\mu(T) = \mu_0 \left(1 - \frac{\pi^2}{12} \frac{T^2}{\mu_0^2} \right)$$

Электрохимический потенциал



A

$$T_A > T_B$$

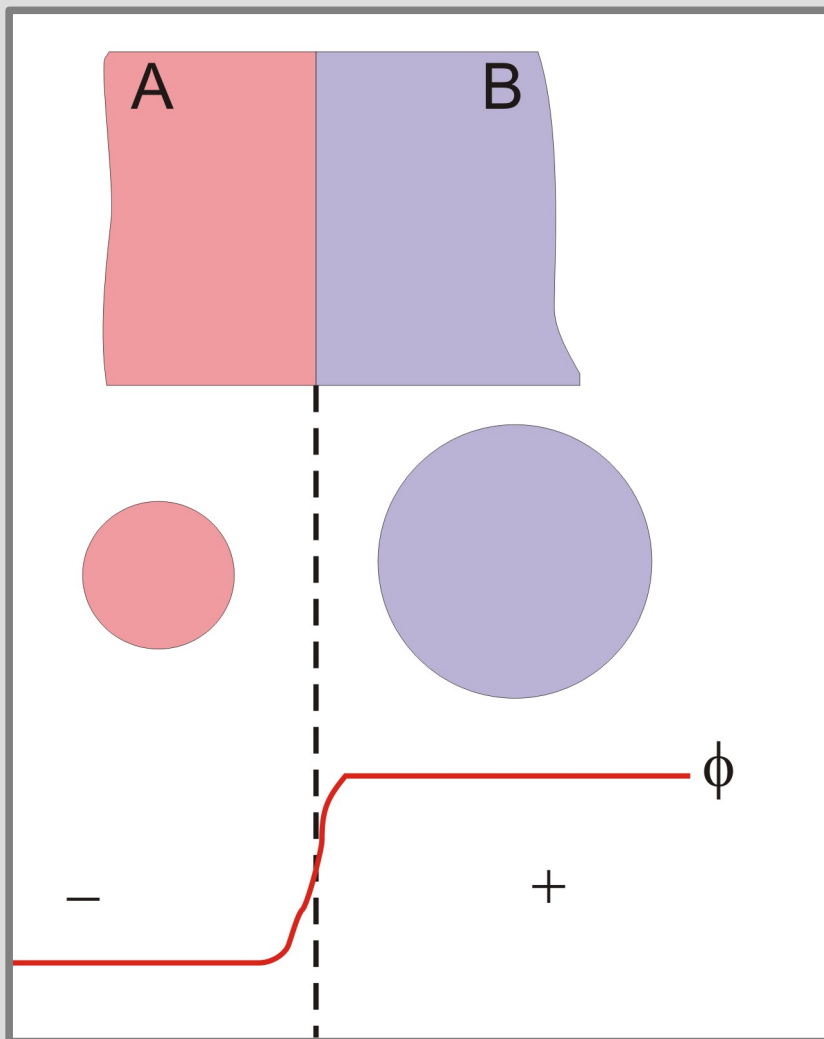
B

$$\mu(T) = \mu_0 \left(1 - \frac{\pi^2 T^2}{12 \mu_0^2} \right)$$

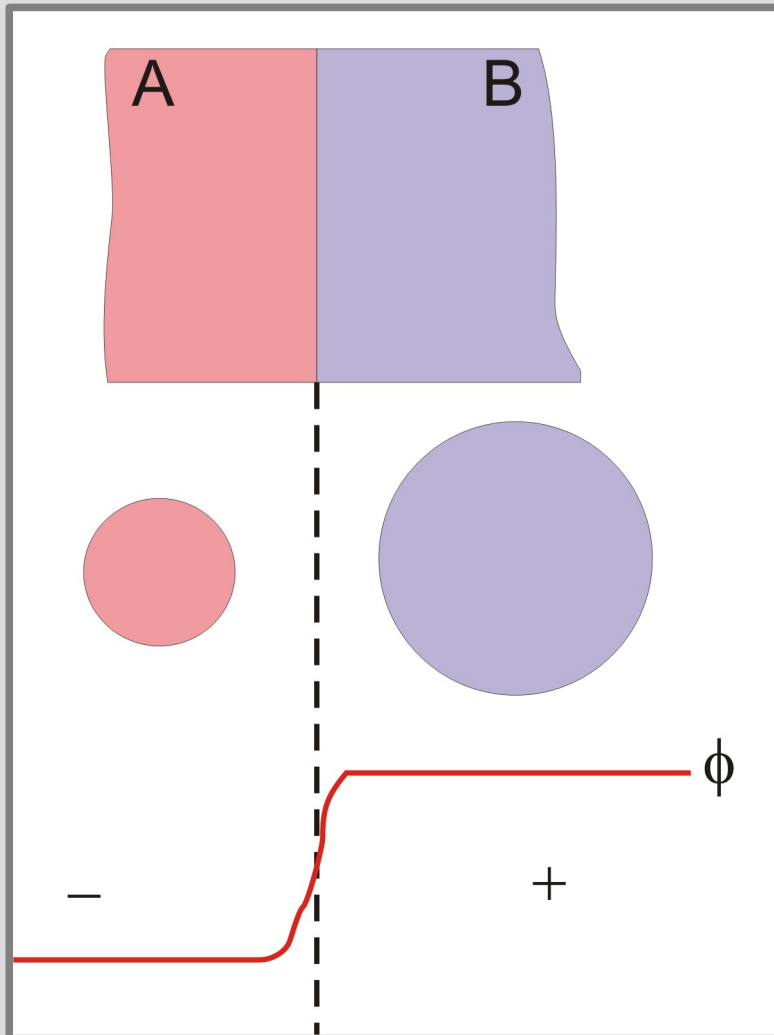
В равновесии должен быть постоянен электрохимический потенциал

$$\begin{aligned} \tilde{\mu} &= \mu + q\varphi = \mu - e\varphi \\ e \frac{\partial \varphi}{\partial x} &= \frac{2}{3} \frac{\mu_0}{n} \frac{\partial n}{\partial x} - \frac{\pi^2 T}{6 \mu_0} \frac{\partial T}{\partial x} \end{aligned}$$

Контактная разность потенциалов



Контактная разность потенциалов



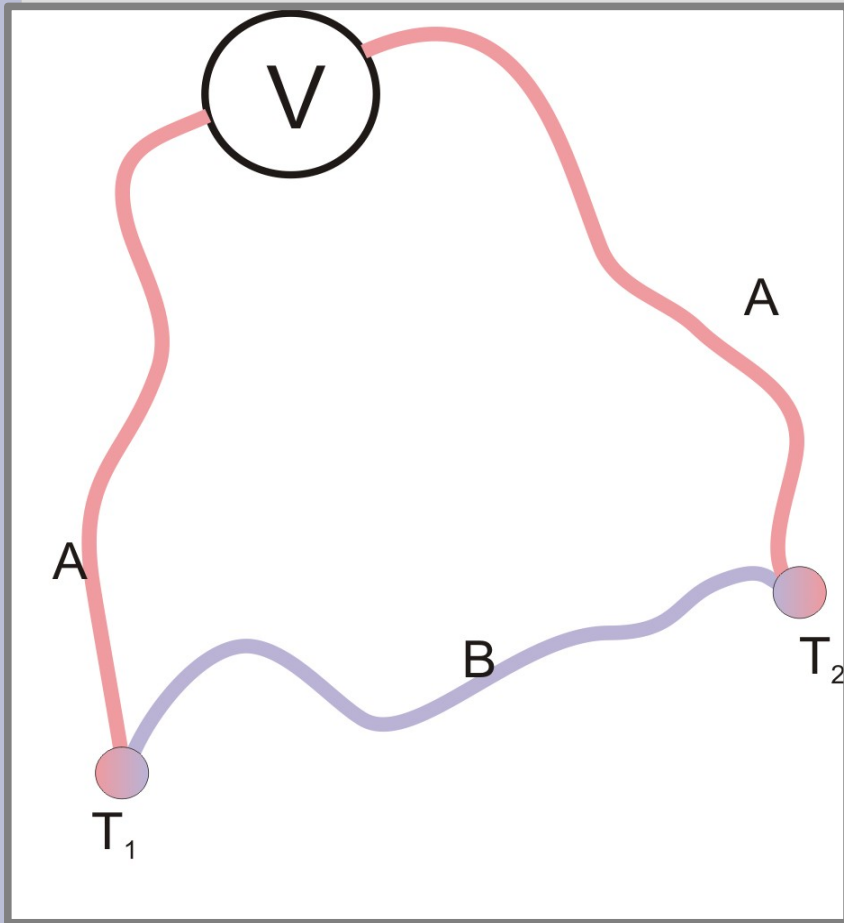
$$\mu(x) - e\phi(x) = \text{const}$$

$$\mu(T) \approx \mu_0 \left(1 - \frac{\pi^2}{12} \frac{T^2}{\mu_0^2} \right)$$

Контактная разность потенциалов

$$\begin{aligned} e \Delta \phi_{BA} &= e(\phi_B - \phi_A) = \mu_B - \mu_A = \\ &= \mu_0^{(B)} \left(1 - \frac{\pi^2}{12} \frac{T^2}{(\mu_0^{(B)})^2} \right) - \mu_0^{(A)} \left(1 - \frac{\pi^2}{12} \frac{T^2}{(\mu_0^{(A)})^2} \right) = \\ &= (\mu_0^{(B)} - \mu_0^{(A)}) + \frac{\pi^2}{12} \left(\frac{1}{\mu_0^{(A)}} - \frac{1}{\mu_0^{(B)}} \right) T^2 \end{aligned}$$

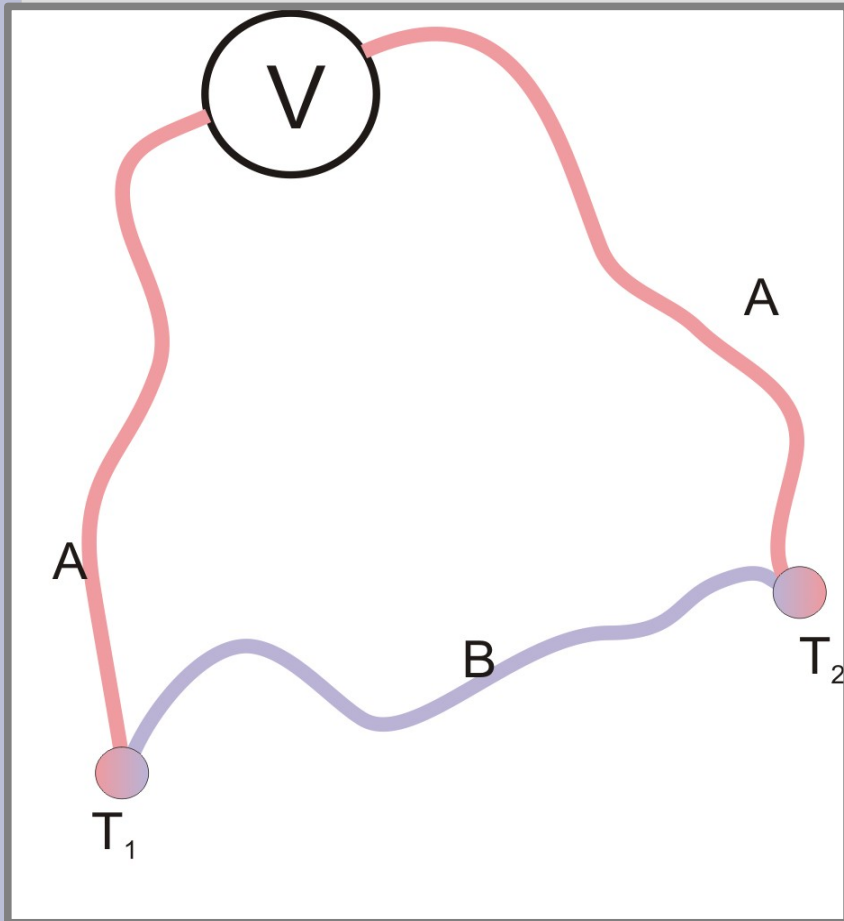
ТермоЭДС



$$e \Delta \phi_{BA} = (\mu_0^{(B)} - \mu_0^{(A)}) + \frac{\pi^2}{12} \left(\frac{1}{\mu_0^{(A)}} - \frac{1}{\mu_0^{(B)}} \right) T^2$$

$$e \Delta \phi_V = \frac{\pi^2}{6} \left(\frac{1}{\mu_0^{(B)}} - \frac{1}{\mu_0^{(A)}} \right) T \Delta T$$

ТермоЭДС



$$e \Delta \phi_{BA} = (\mu_0^{(B)} - \mu_0^{(A)}) + \frac{\pi^2}{12} \left(\frac{1}{\mu_0^{(A)}} - \frac{1}{\mu_0^{(B)}} \right) T^2$$

$$e \Delta \phi_V = \frac{\pi^2}{6} \left(\frac{1}{\mu_0^{(B)}} - \frac{1}{\mu_0^{(A)}} \right) T \Delta T$$

~0.1 1/эВ

1К=10⁻⁴эВ

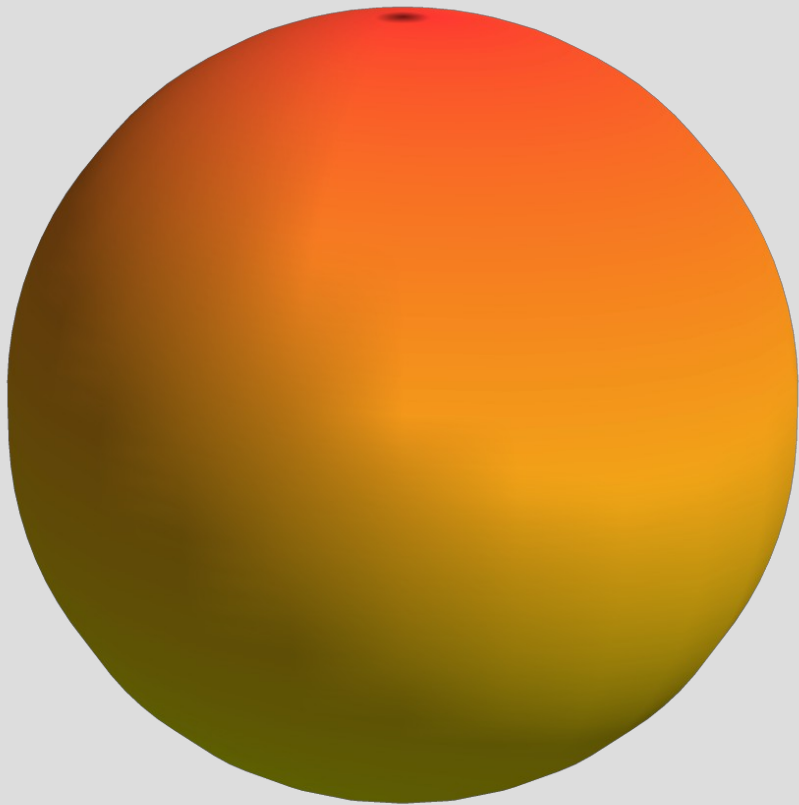
25 мэВ

- постоянная термопары: ~ мкВ/К,
- зависит от температуры!
- медь-константан: 43 мкВ/К

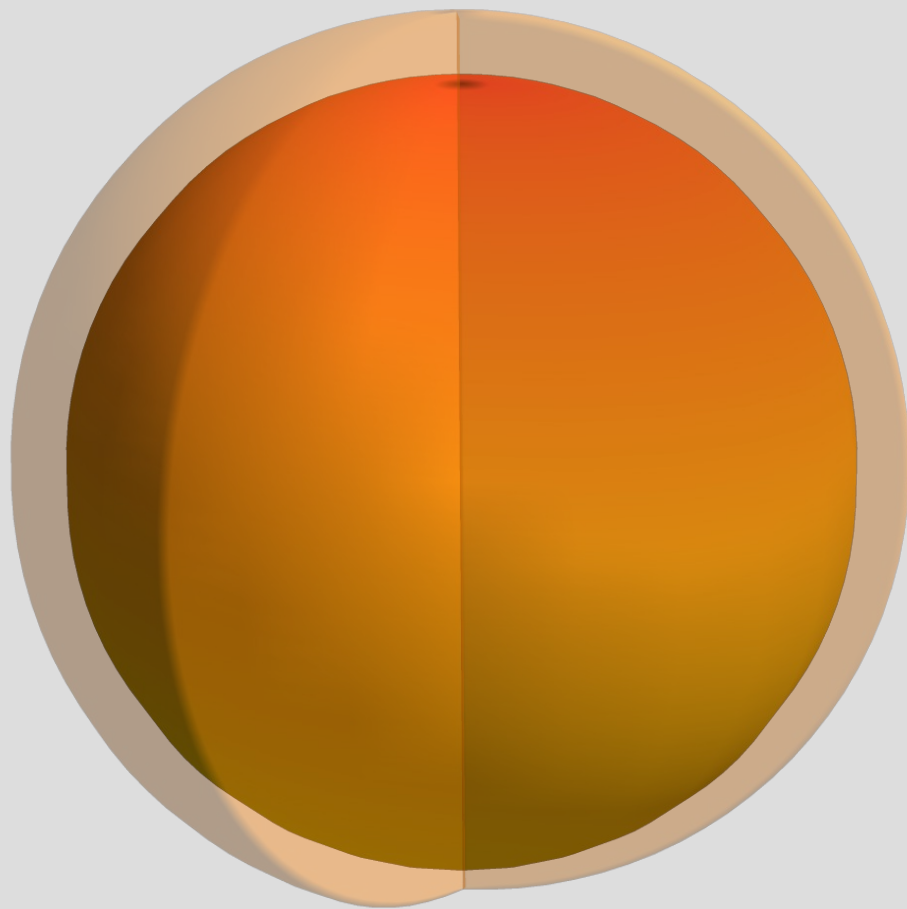


Часть 4. Теплоёмкость ферми-газа

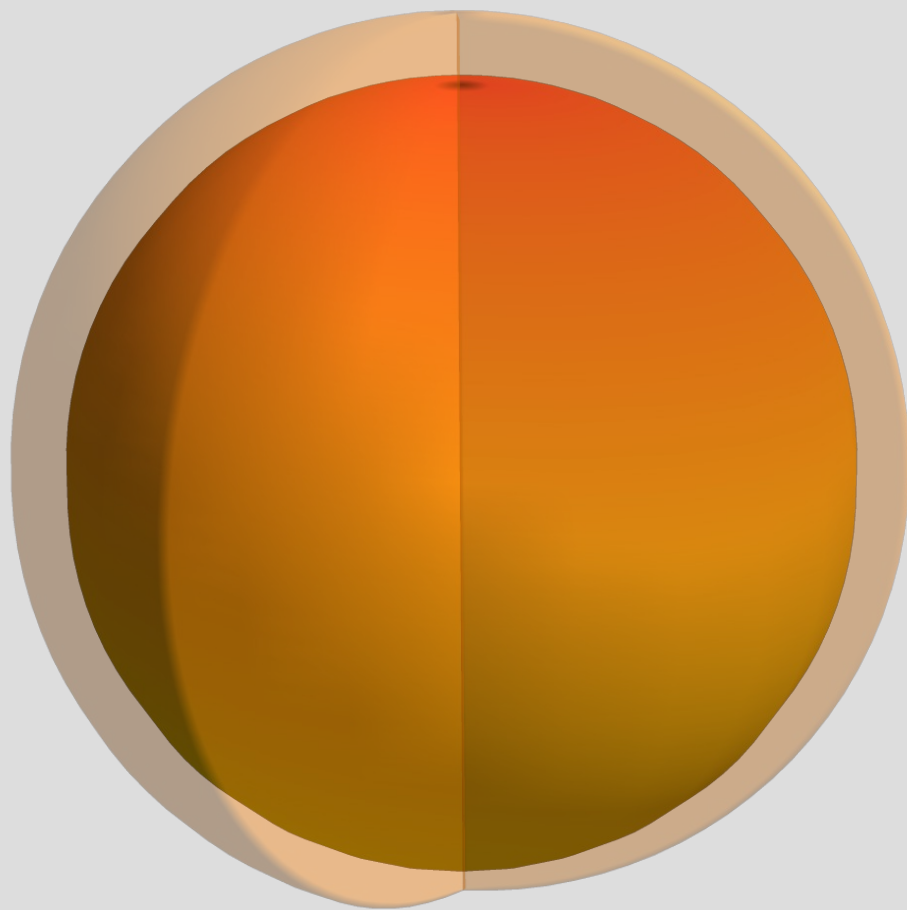
Теплоёмкость вырожденного ферми-газа.



Теплоёмкость вырожденного ферми-газа.

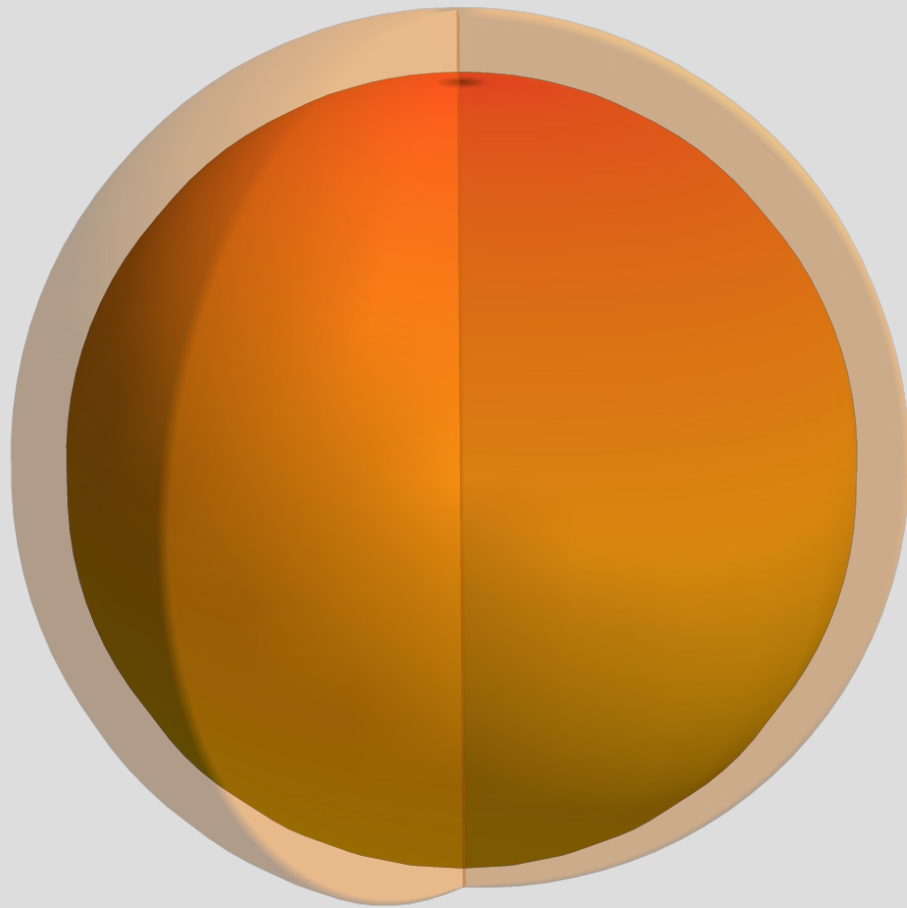


Теплоёмкость вырожденного ферми-газа.



$$\Delta E \simeq T$$
$$D(E_F) = \frac{3N}{2E_F}$$

Теплоёмкость вырожденного ферми-газа.

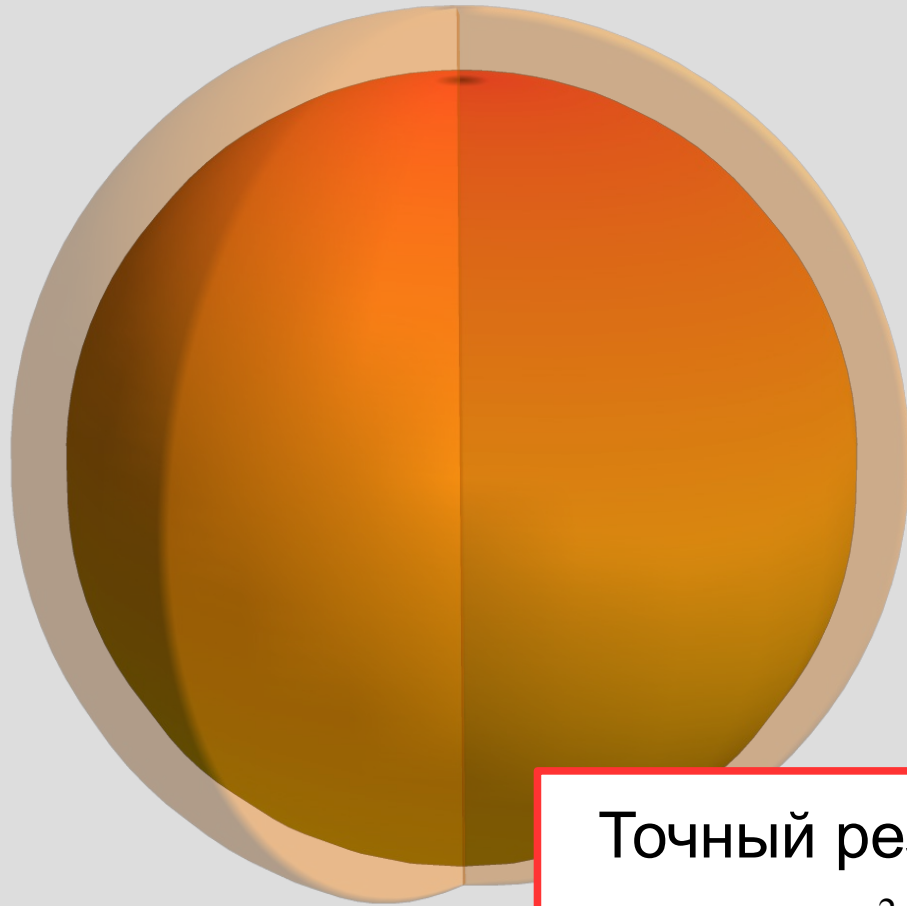


$$\Delta E \simeq T$$
$$D(E_F) = \frac{3N}{2E_F}$$

$$E(T) - E_0 \simeq D(E_F) T^2 =$$
$$= \frac{3}{2} N \frac{T^2}{E_F}$$

$$C(T) \simeq k_B \frac{T}{T_F}$$

Теплоёмкость вырожденного ферми-газа.



$$\Delta E \simeq T$$
$$D(E_F) = \frac{3N}{2E_F}$$

$$E(T) - E_0 \simeq D(E_F) T^2 =$$
$$= \frac{3}{2} N \frac{T^2}{E_F}$$

$$\simeq k_B \frac{T}{T_F}$$

Точный результат

$$C = \frac{\pi^2}{2} N \frac{k_B^2 T}{E_F} = \frac{\pi^2}{3} D(E_F) k_B^2 T$$

Связь теплоёмкости с массой частицы.

$$C = \frac{\pi^2}{2} N \frac{k_B^2 T}{E_F} = \frac{\pi^2}{3} D(E_F) k_B^2 T$$

$$C_{\mu} = \frac{\pi^2}{2} R \frac{k_B T}{E_F} = \pi^2 R m \frac{k_B T}{\hbar^2 (3 \pi^2 n)^{2/3}} = \gamma T$$

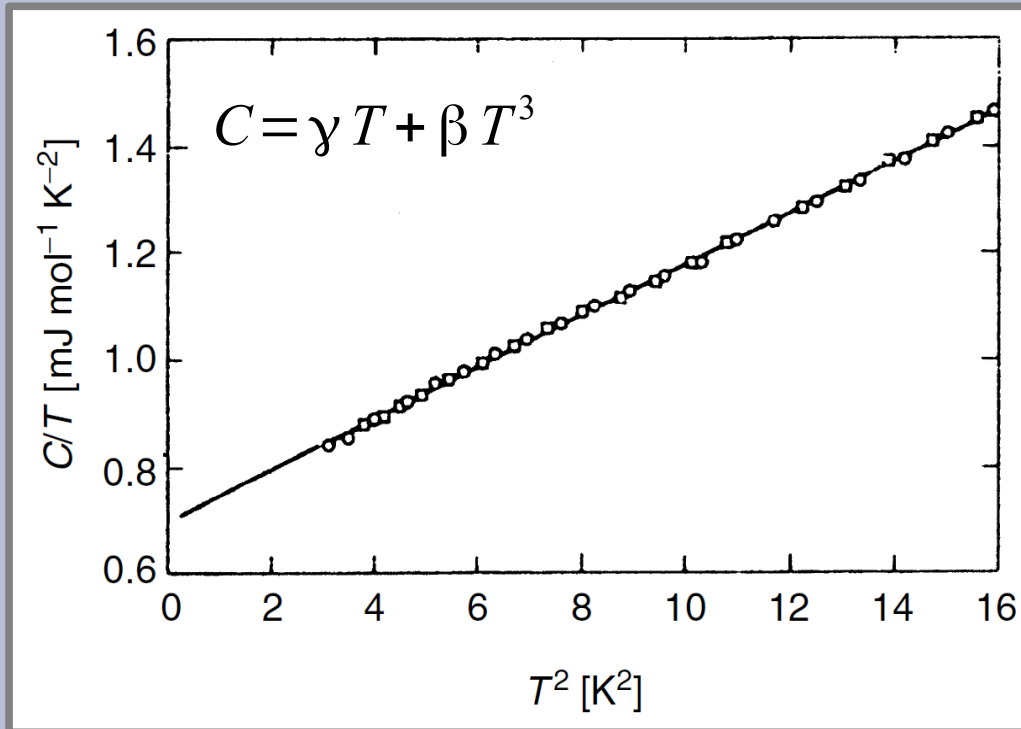
Связь теплоёмкости с массой частицы.

$$C = \frac{\pi^2}{2} N \frac{k_B^2 T}{E_F} = \frac{\pi^2}{3} D(E_F) k_B^2 T$$

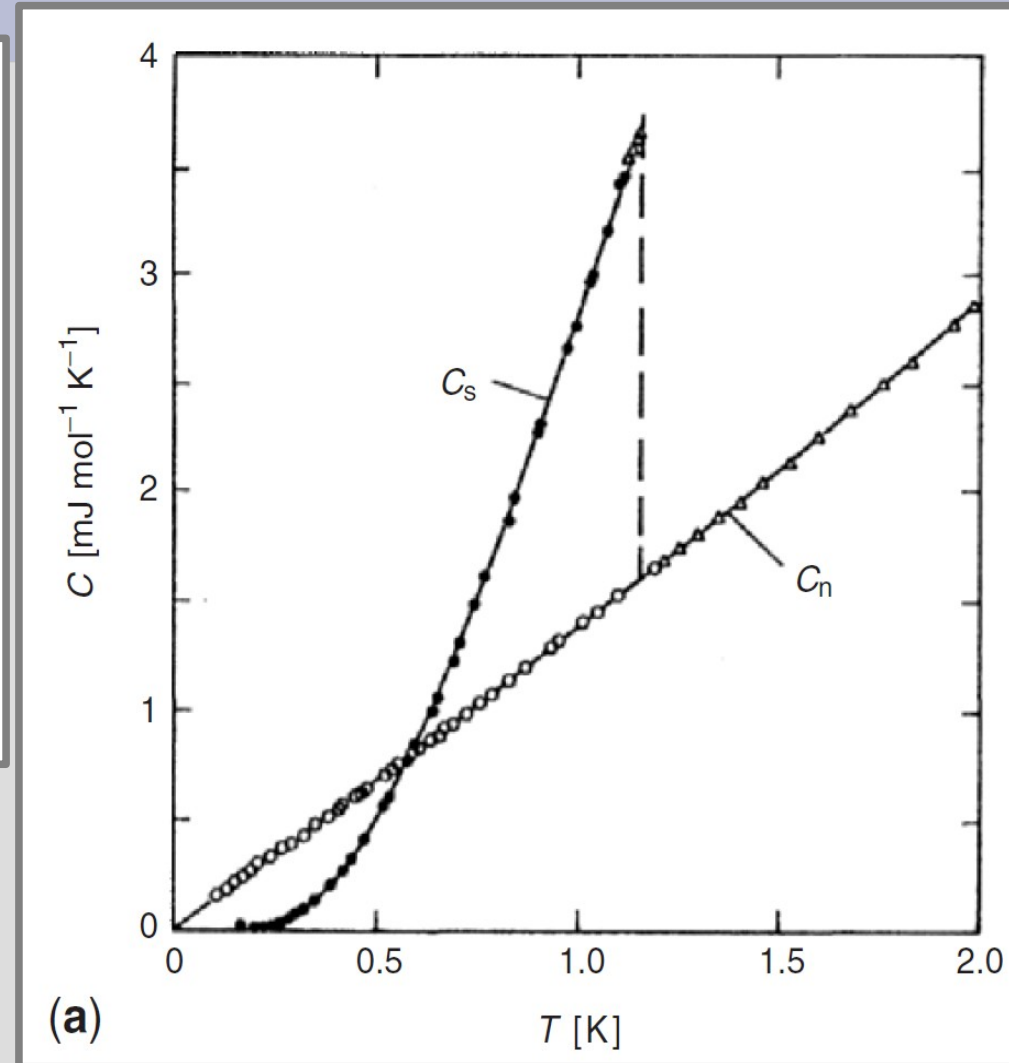
$$C_{\mu} = \frac{\pi^2}{2} R \frac{k_B T}{E_F} = \pi^2 R m \frac{k_B T}{\hbar^2 (3\pi^2 n)^{2/3}} = \gamma T$$

$$\frac{m^*}{m_0} = \left(\frac{3}{\pi}\right)^{2/3} \frac{\hbar^2 n^{2/3}}{k_B m_0} \times \frac{\gamma}{R}$$

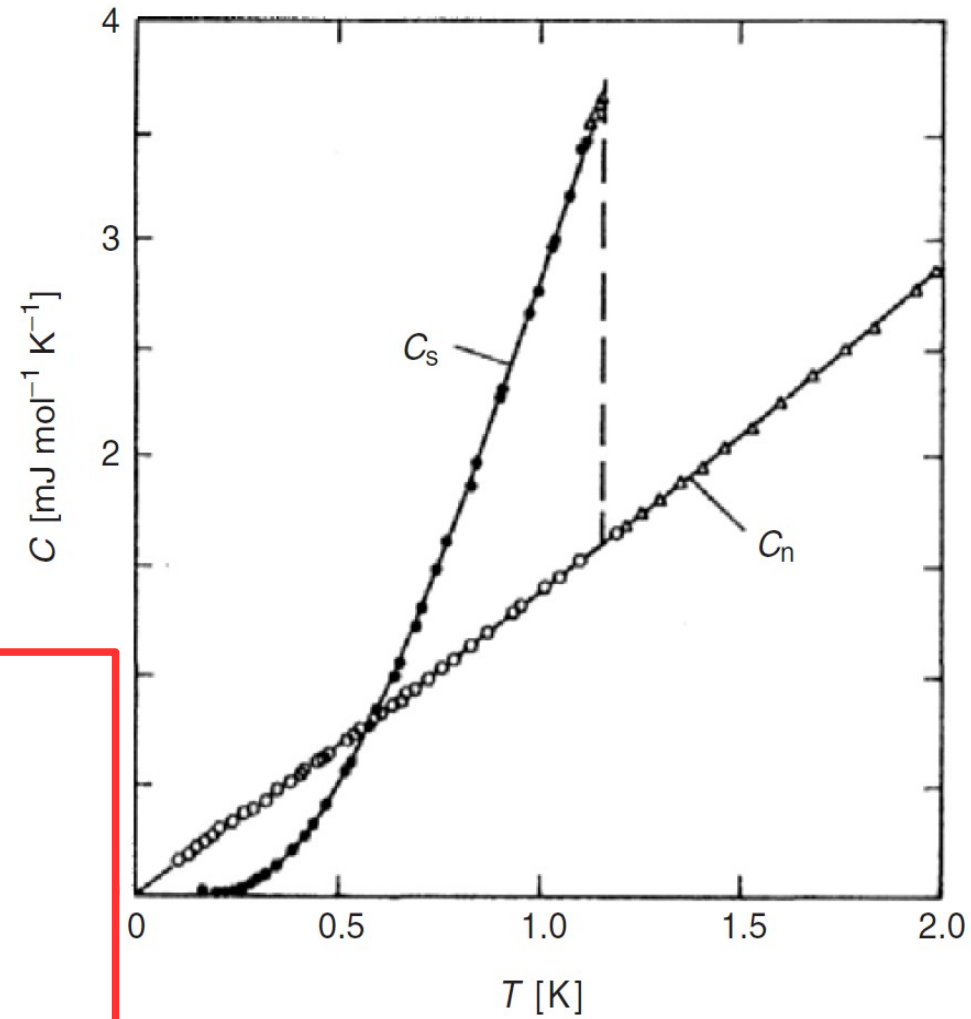
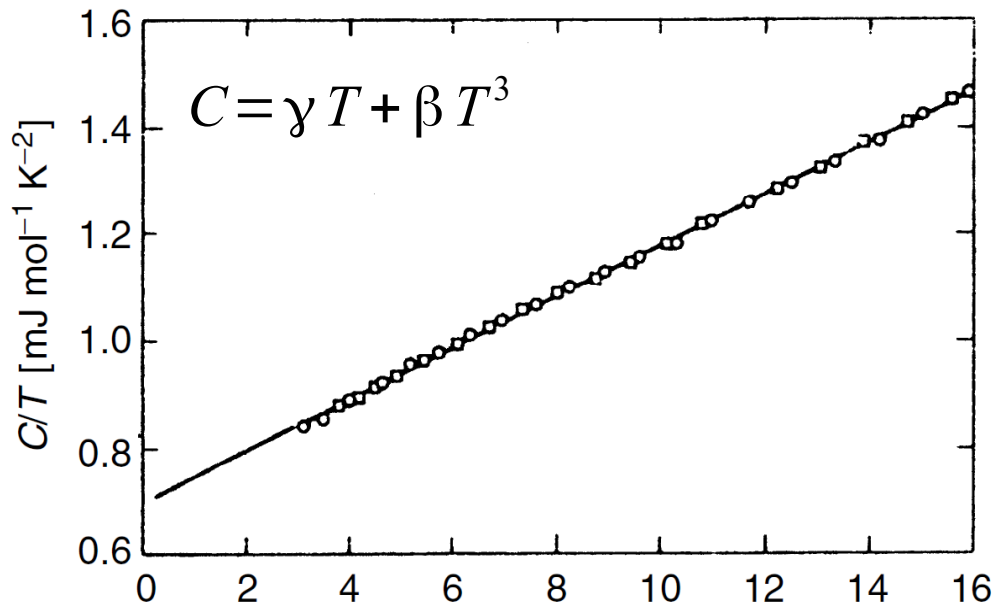
Теплоёмкости металлов.



Слева: теплоёмкость меди при низких температурах.
Справа: теплоёмкость алюминия в нормальной и сверхпроводящей фазах (для измерения в нормальной фазе переход в сверхпроводящее состояние подавлялся магнитным полем).



Теплоёмкости металлов.

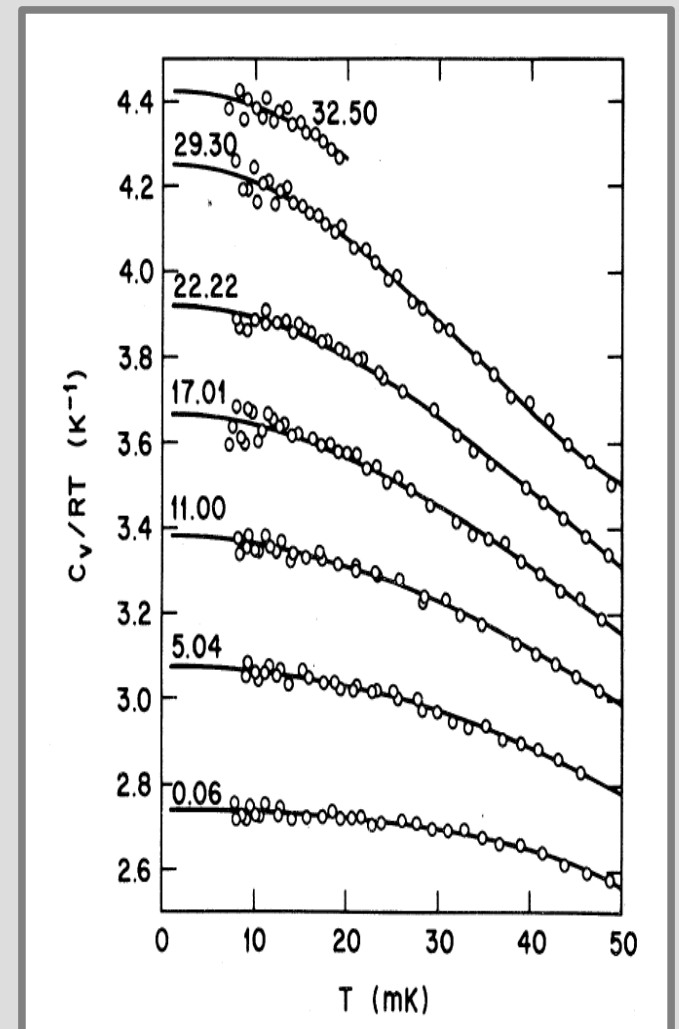
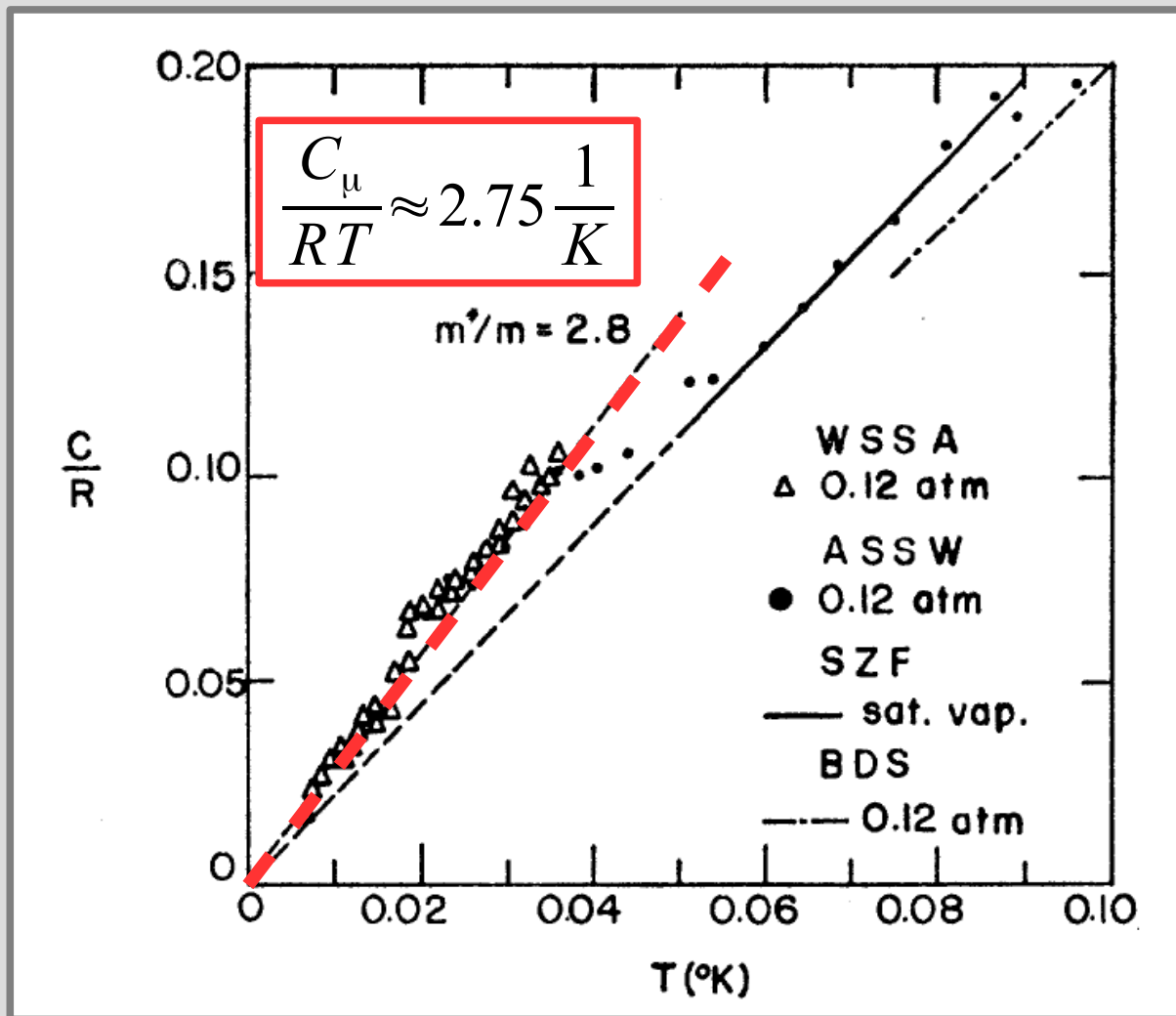


$m^*/m_0 =$

для меди 1.37,
 для золота 1.08,
 для серебра 0.995,
 для алюминия 4.45

Слева: те
 Справа: т
 сверхпро
 фазе пер
 подавлял

Теплоёмкость жидкого гелия-3



Гелий-3: эффект Померанчука.

$$\frac{dP}{dT} = \frac{S_1 - S_2}{V_1 - V_2}$$

Гелий-3: эффект Померанчука.

$$\frac{dP}{dT} = \frac{S_1 - S_2}{V_1 - V_2}$$

твёрдая фаза выше 10мК

$$S = \ln(2S + 1) = \ln 2 \approx 0.69$$

Гелий-3: эффект Померанчука.

$$\frac{dP}{dT} = \frac{S_1 - S_2}{V_1 - V_2}$$

твёрдая фаза выше 10мК

$$S = \ln(2S + 1) = \ln 2 \approx 0.69$$

жидкая фаза

$$S(T') = \int_0^{T'} \frac{C}{T} dT$$

$\frac{C_\mu}{RT} \approx 2.75 \frac{1}{K} \quad \longrightarrow \quad S(T) \approx 2.75 T$

Гелий-3: эффект Померанчука.

$$\frac{dP}{dT} = \frac{S_1 - S_2}{V_1 - V_2}$$

твёрдая фаза выше 10мК

$$S = \ln(2S + 1) = \ln 2 \approx 0.69$$

жидкая фаза

$$S(T') = \int_0^{T'} \frac{C}{T} dT$$

$$\frac{C_{\mu}}{RT} \approx 2.75 \frac{1}{K}$$



$$S(T) \approx 2.75 T$$

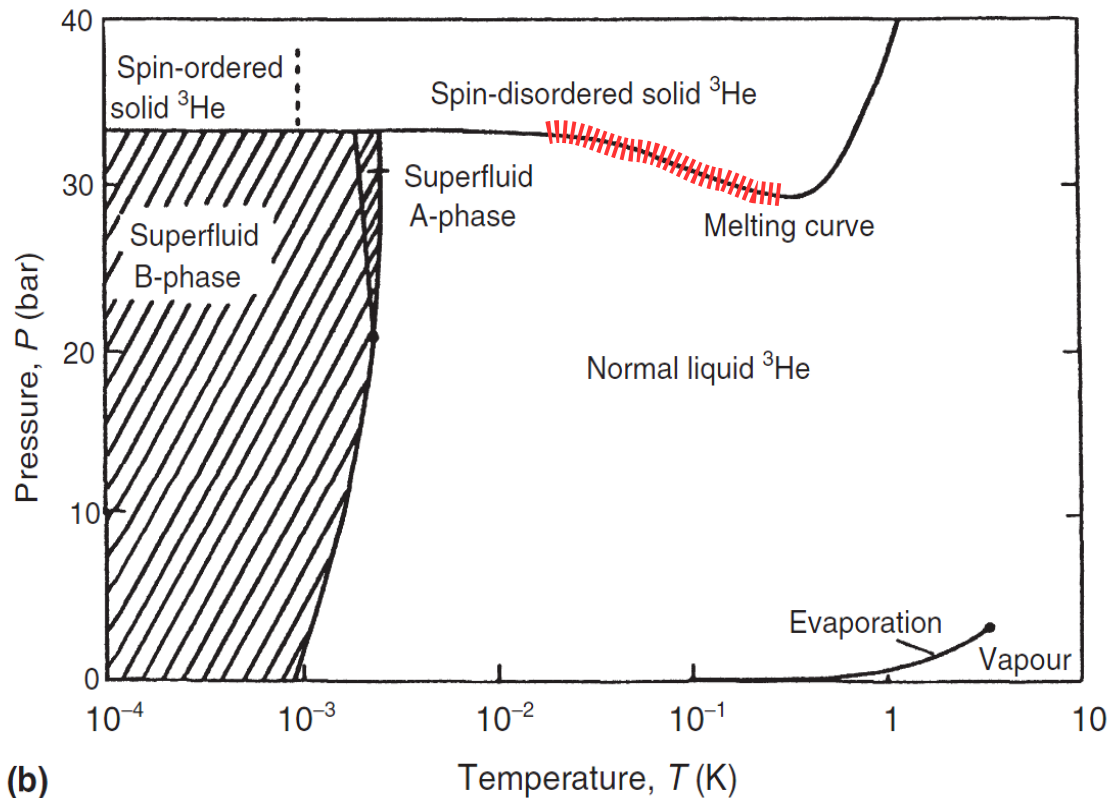
При $T < 0.25\text{K}$ энтропия жидкой фазы меньше энтропии твёрдой фазы!
Кривая плавления должна менять наклон....

Гелий-3: эффект Померанчука.

$$\frac{dP}{dT} = \frac{S_1 - S_2}{V_1 - V_2}$$

При $T < 0.25\text{K}$ энтропия

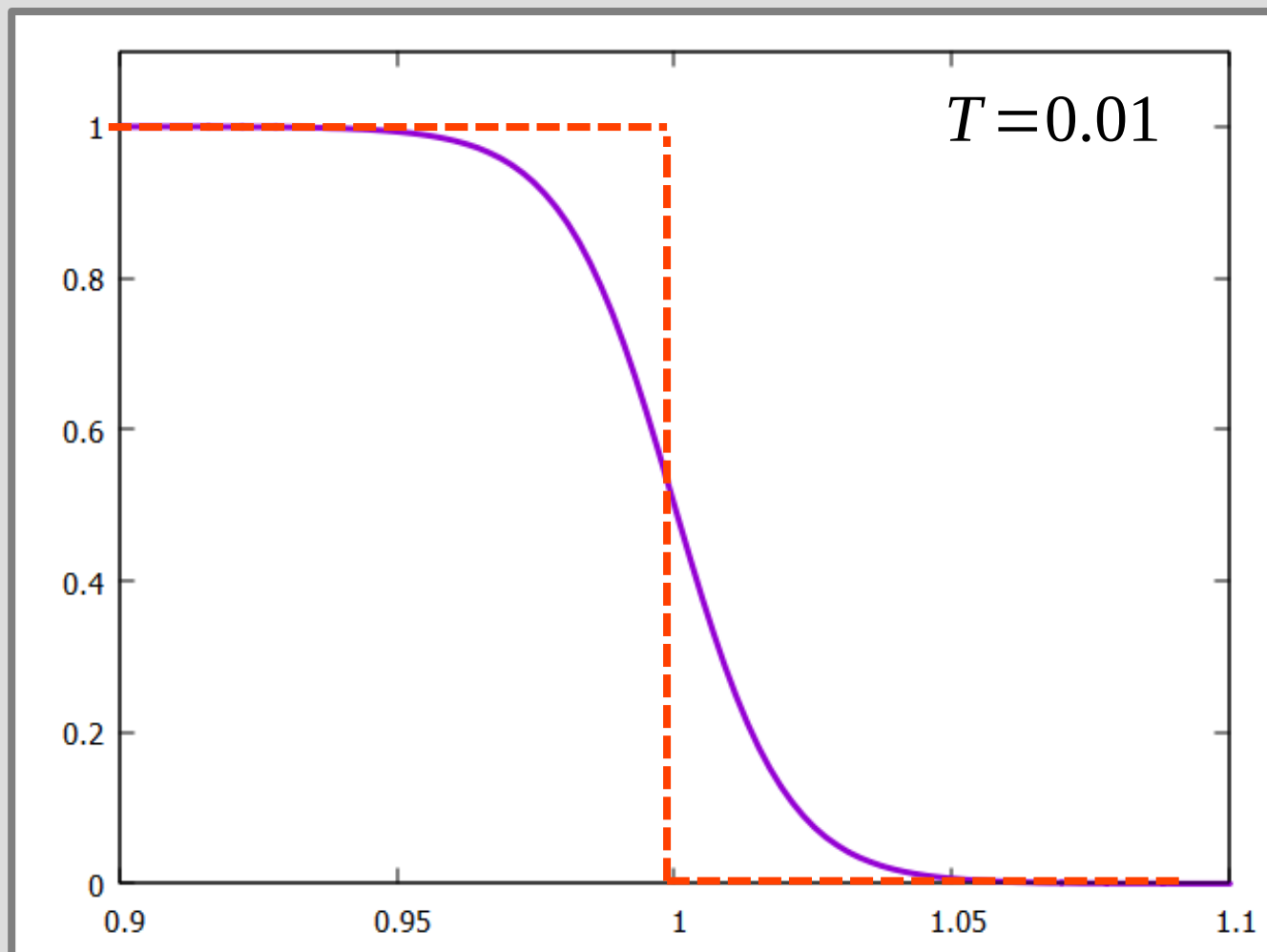
газовой фазы меньше энтропии твёрдой фазы!
Склон давления должен быть отрицательным....



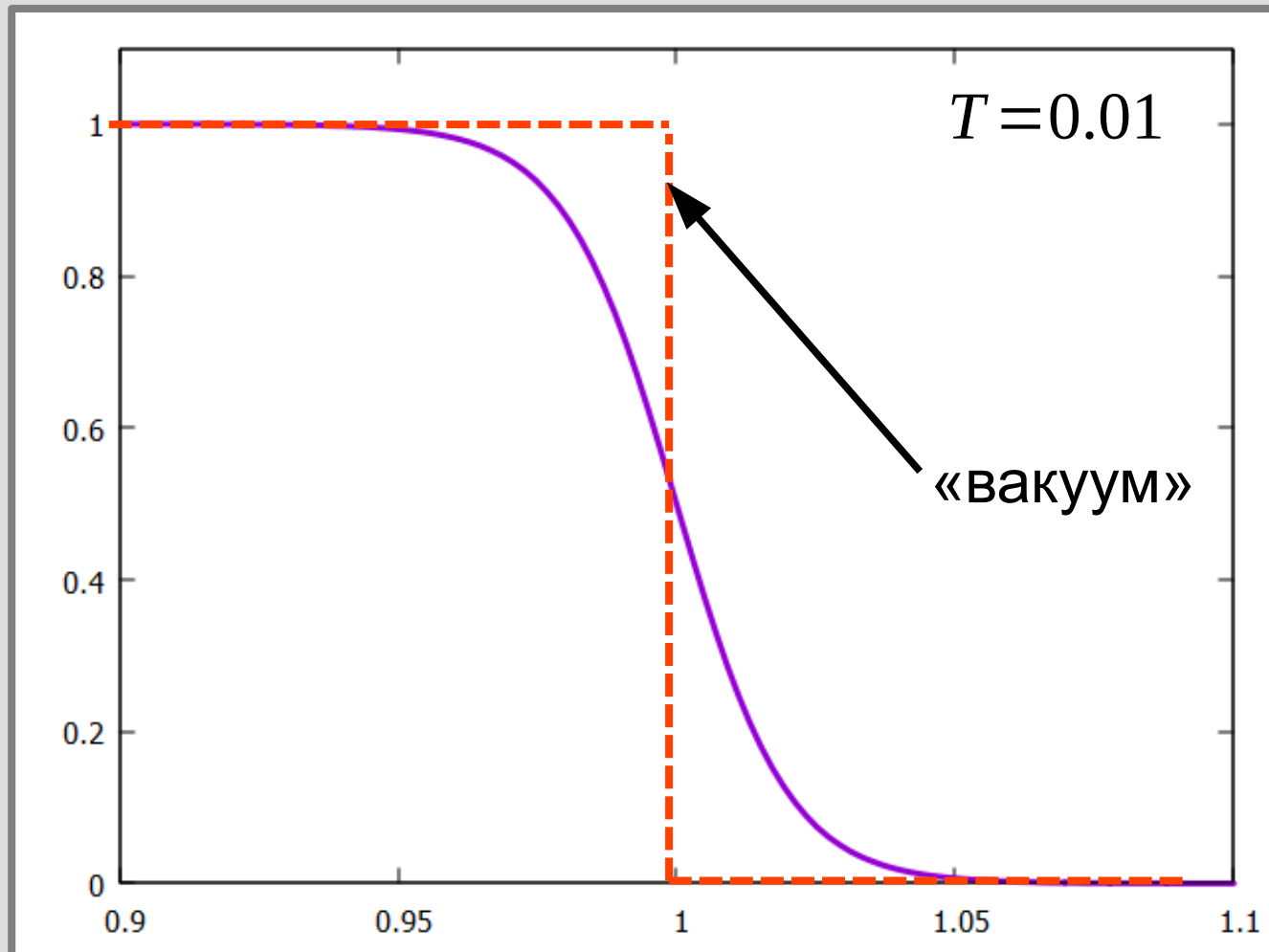


Часть 5. Квазичастичное описание вырожденной ферми-системы

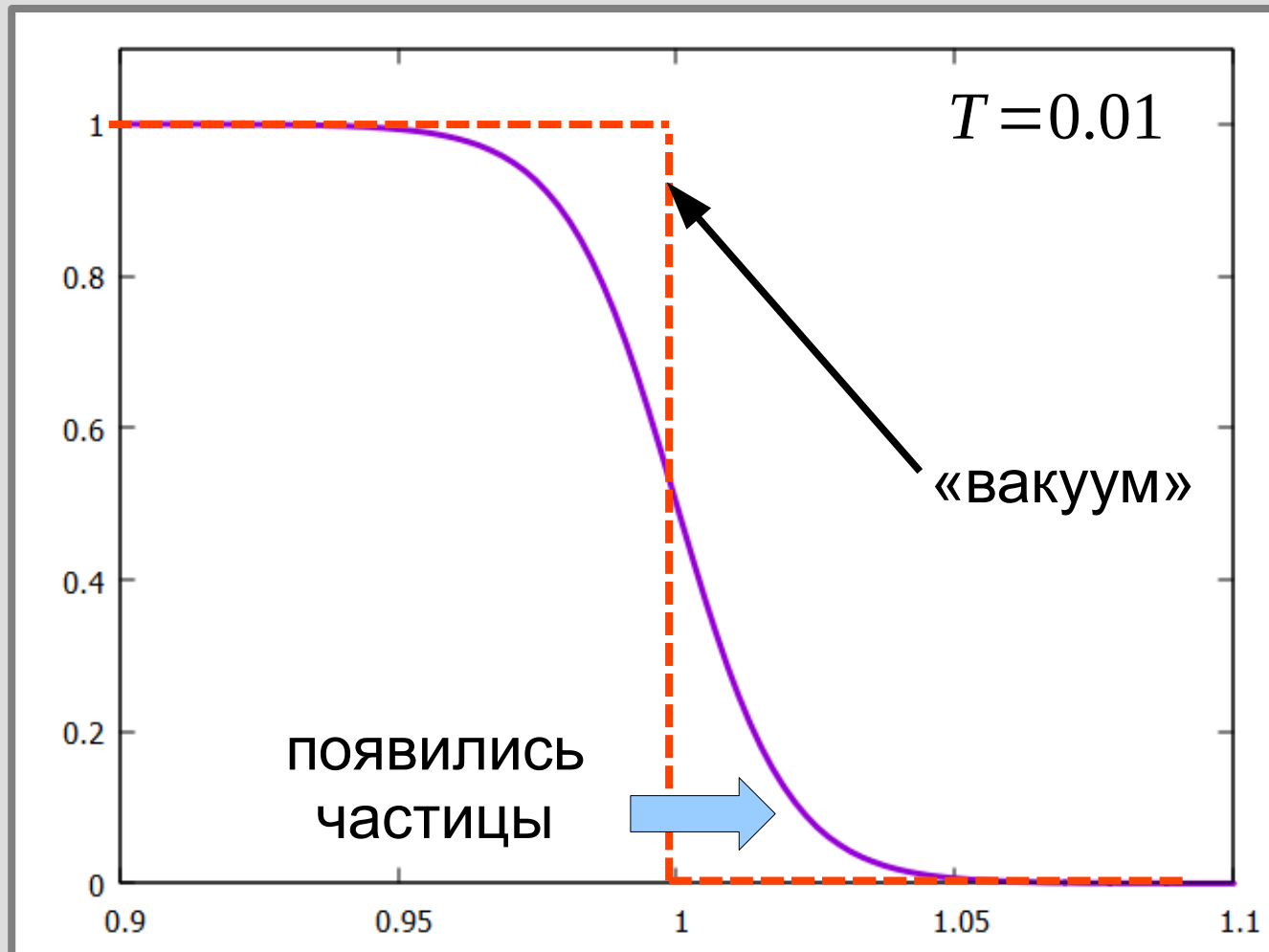
Представление об элементарных возбуждениях ферми-системы.



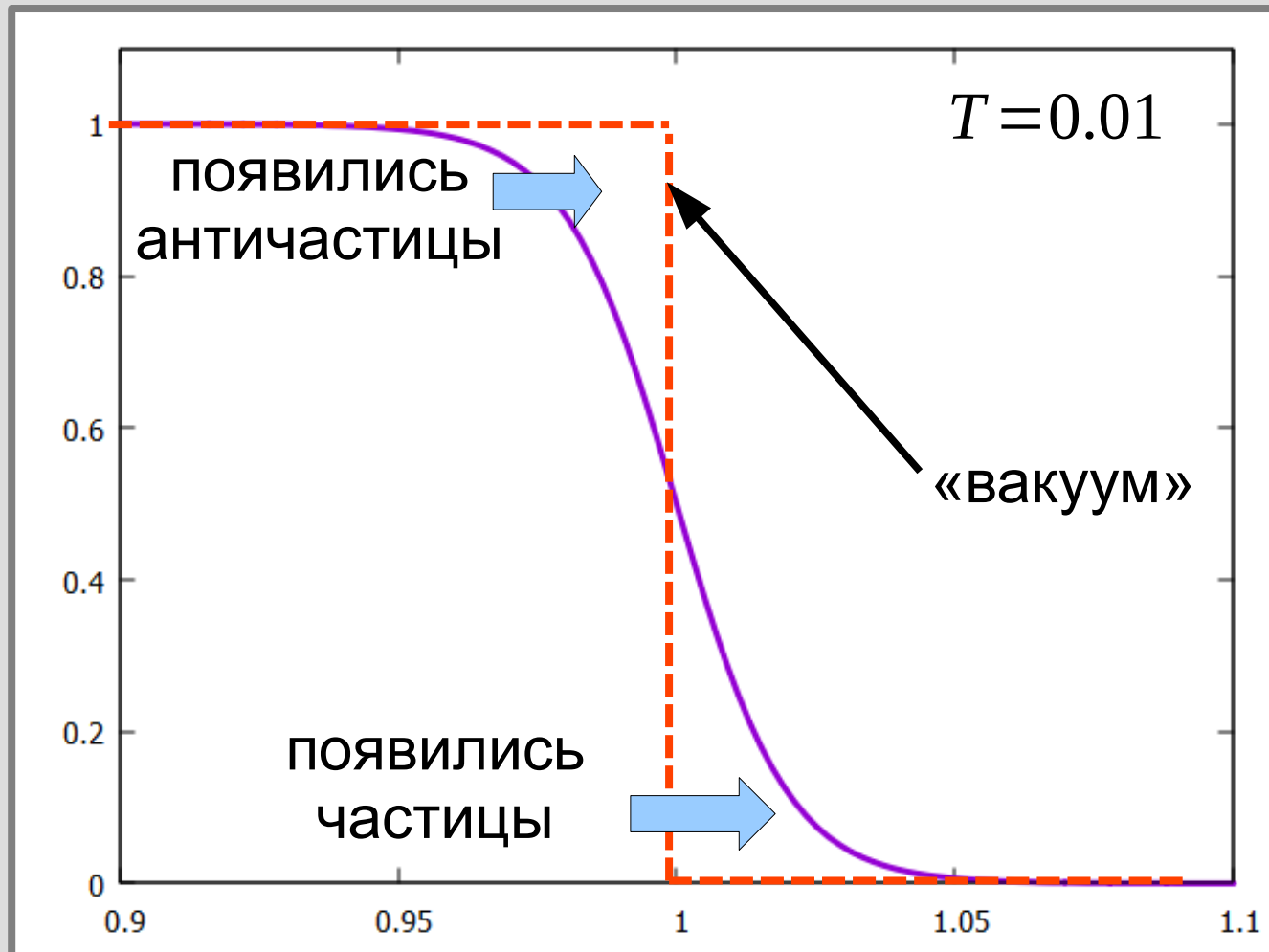
Представление об элементарных возбуждениях ферми-системы.



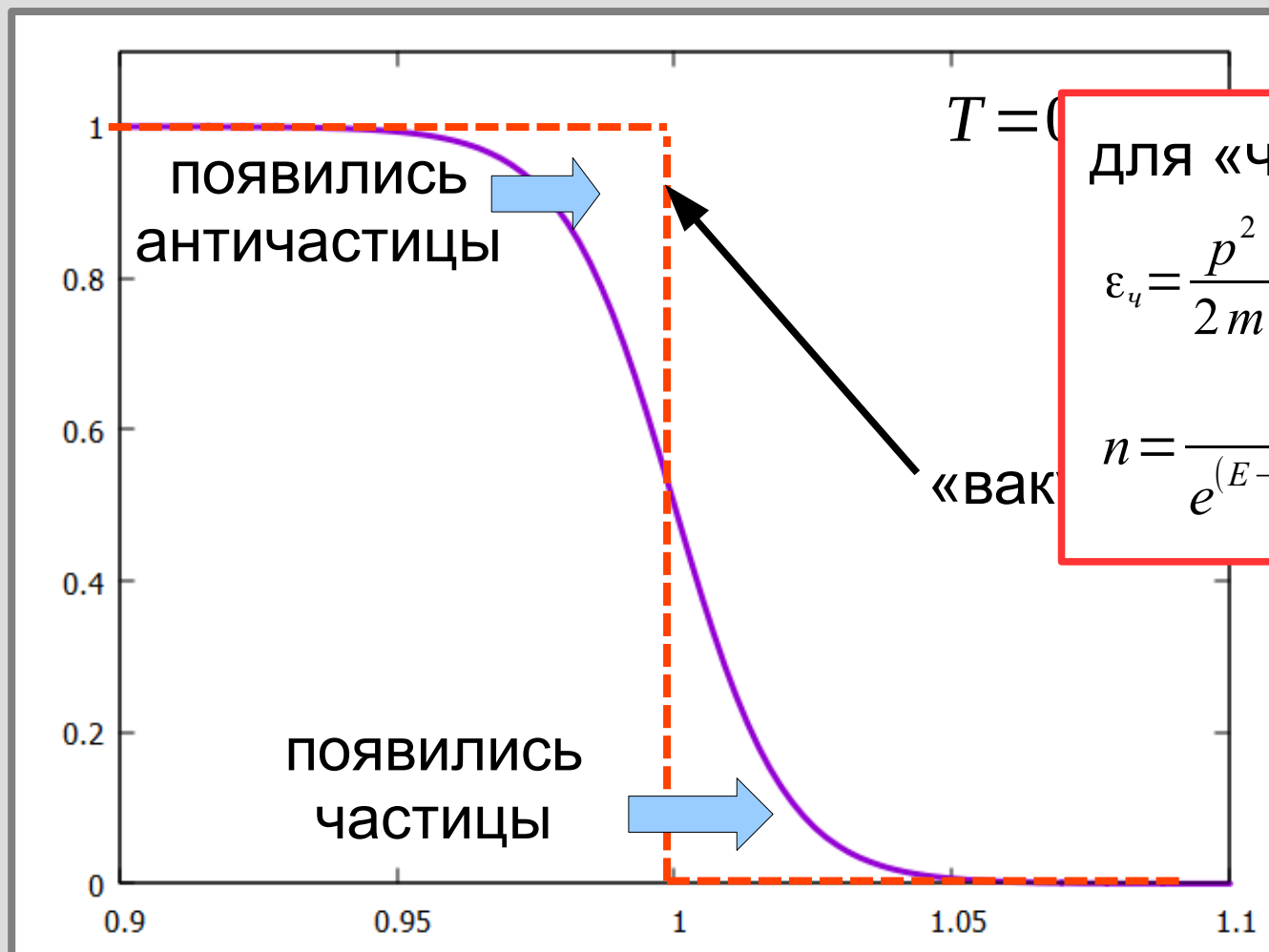
Представление об элементарных возбуждениях ферми-системы.



Представление об элементарных возбуждениях ферми-системы.



Представление об элементарных возбуждениях ферми-системы.

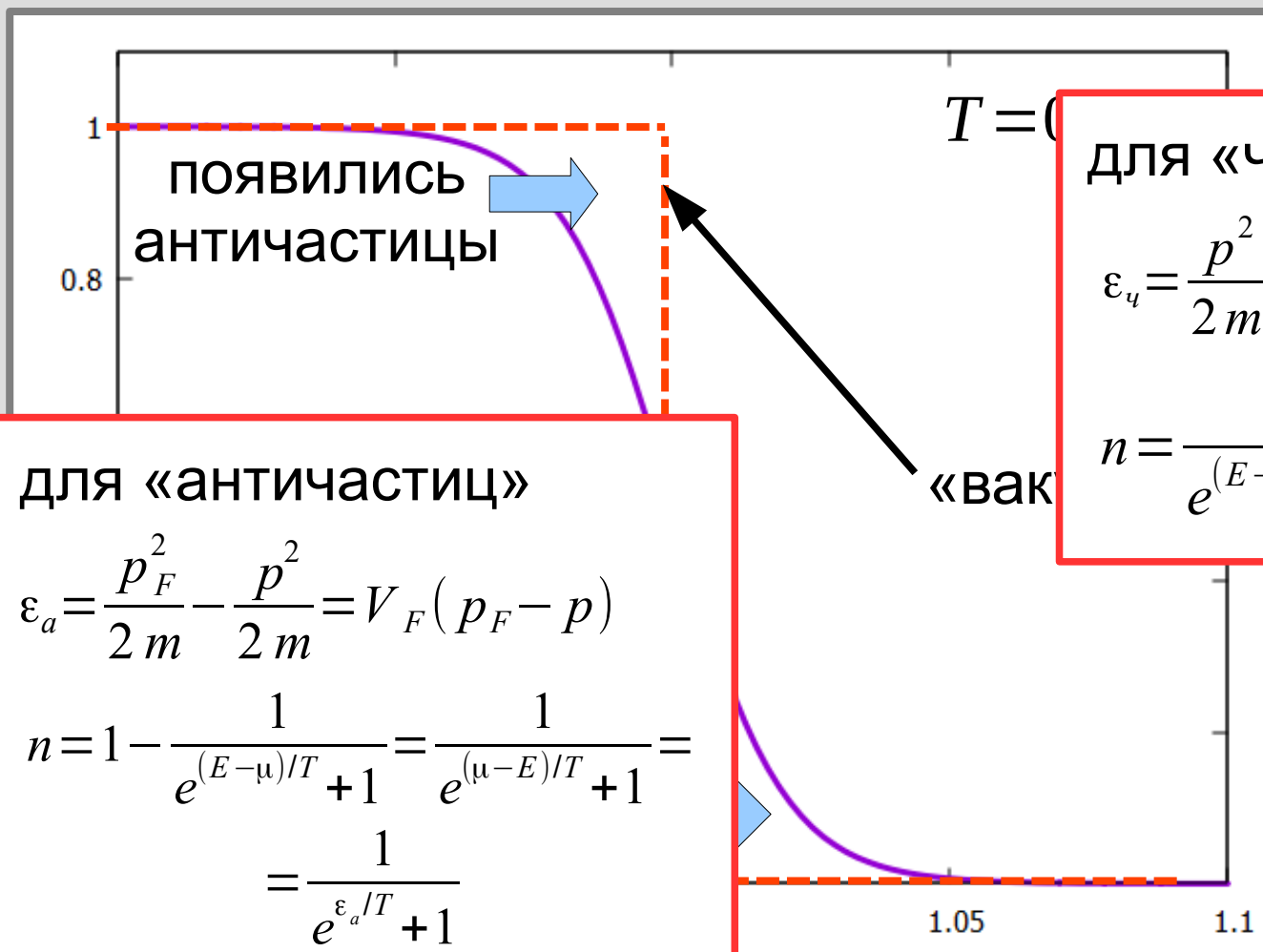


для «частиц»

$$\varepsilon_q = \frac{p^2}{2m} - \frac{p_F^2}{2m} = V_F(p - p_F)$$

$$n = \frac{1}{e^{(E-\mu)/T} + 1} = \frac{1}{e^{\varepsilon_q/T} + 1}$$

Представление об элементарных возбуждениях ферми-системы.



Появились
античастицы

$T = 0$

для «частиц»

$$\varepsilon_c = \frac{p^2}{2m} - \frac{p_F^2}{2m} = V_F(p - p_F)$$

$$n = \frac{1}{e^{(E-\mu)/T} + 1} = \frac{1}{e^{\varepsilon_c/T} + 1}$$

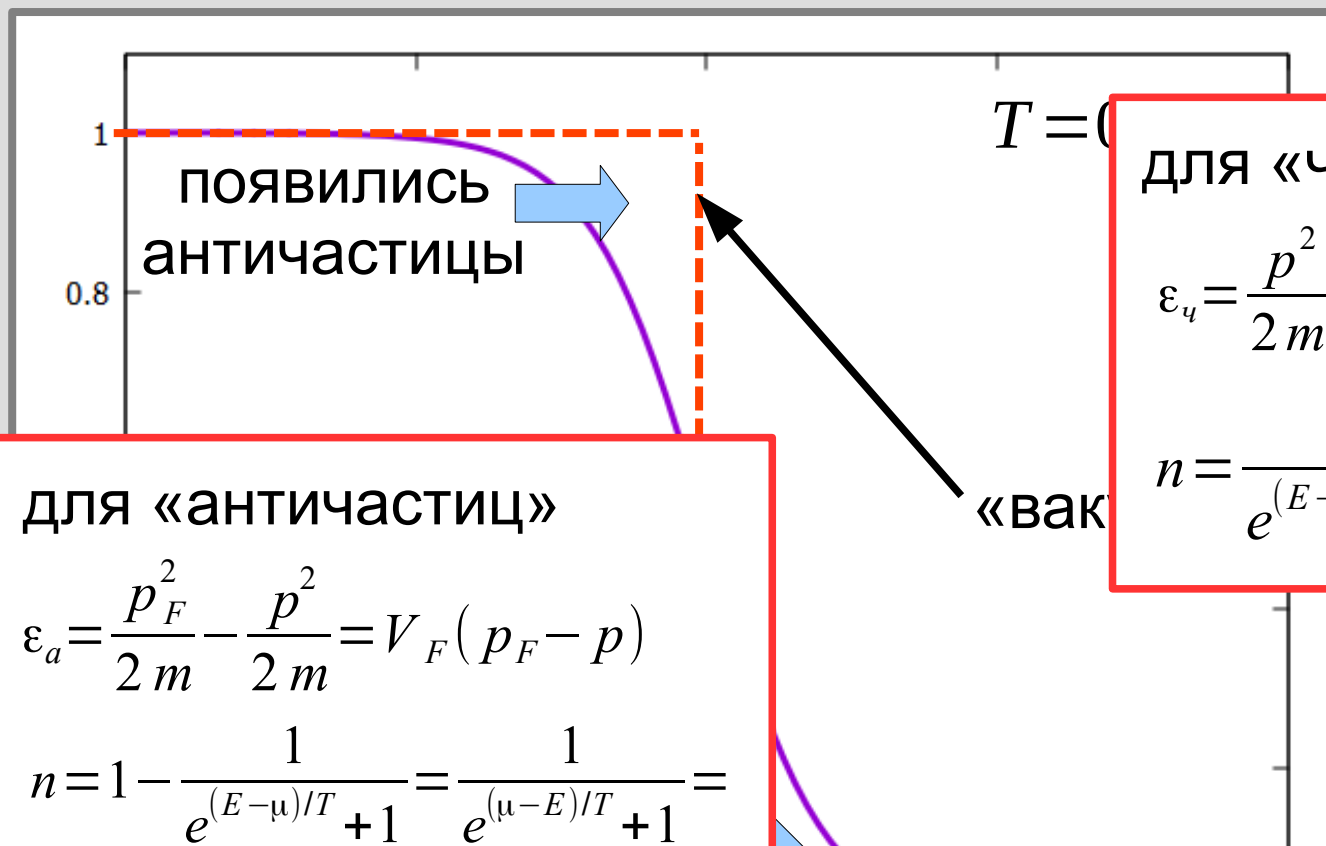
«вак»

для «античастиц»

$$\varepsilon_a = \frac{p_F^2}{2m} - \frac{p^2}{2m} = V_F(p_F - p)$$

$$n = 1 - \frac{1}{e^{(E-\mu)/T} + 1} = \frac{1}{e^{(\mu-E)/T} + 1} = \frac{1}{e^{\varepsilon_a/T} + 1}$$

Представление об элементарных возбуждениях ферми-системы.



для «античастиц»

$$\varepsilon_a = \frac{p_F^2}{2m} - \frac{p^2}{2m} = V_F(p_F - p)$$

$$n = 1 - \frac{1}{e^{(E-\mu)/T} + 1} = \frac{1}{e^{(\mu-E)/T} + 1} = \frac{1}{e^{\varepsilon_a/T} + 1}$$

для «частиц»

$$\varepsilon_q = \frac{p^2}{2m} - \frac{p_F^2}{2m} = V_F(p - p_F)$$

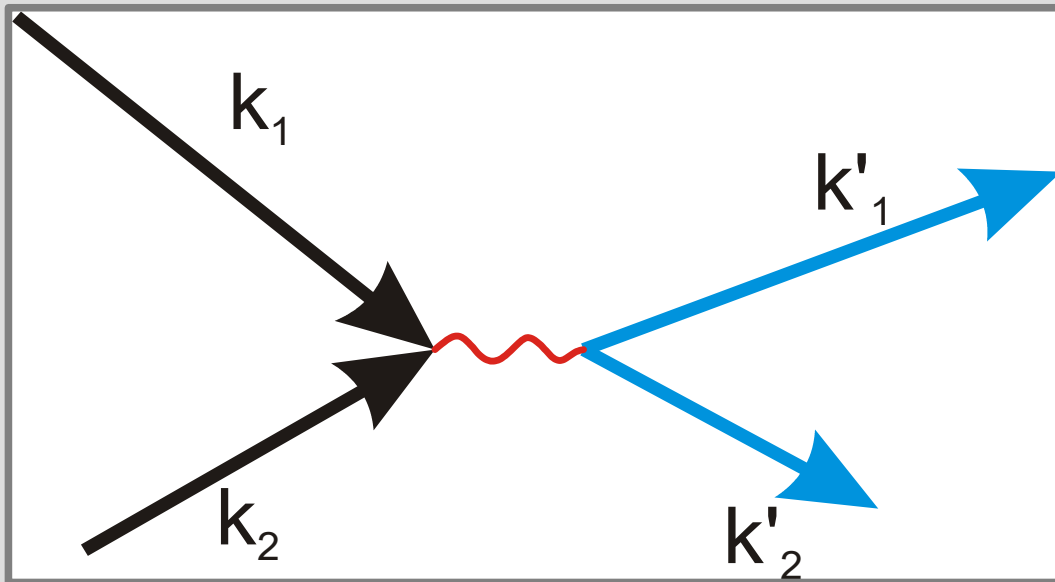
$$n = \frac{1}{e^{(E-\mu)/T} + 1} = \frac{1}{e^{\varepsilon_q/T} + 1}$$

У «частиц» и «античастиц» фермиевская статистика с нулевым химпотенциалом

Вычисление теплоёмкости на языке элементарных возбуждений

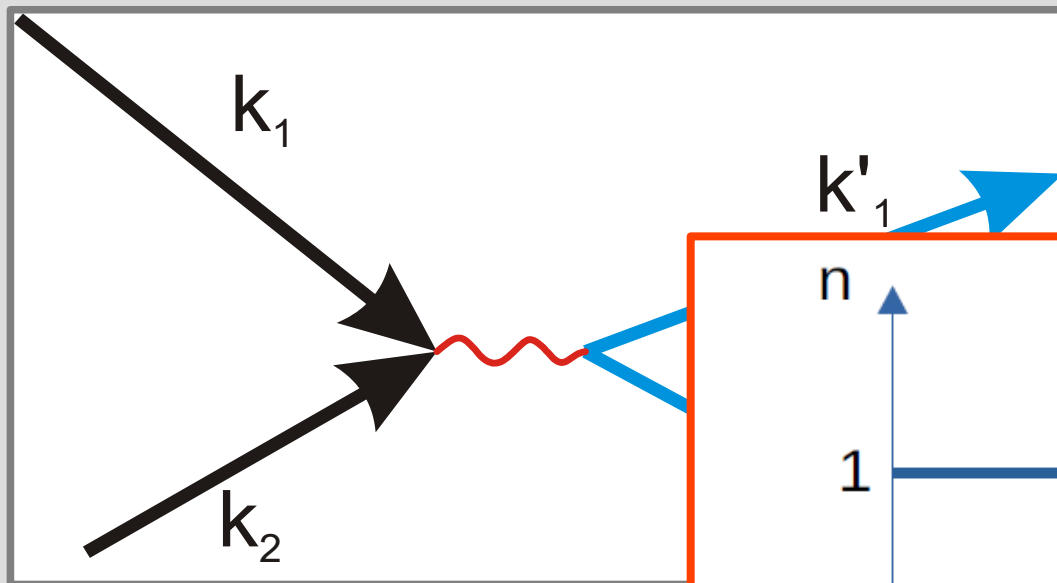
$$E = 2 \int_0^{\infty} \varepsilon n(\varepsilon) D(\varepsilon) d\varepsilon$$
$$C = \frac{dE}{dT} = 2 D(E_F) \int_0^{\infty} \varepsilon \frac{\partial n(\varepsilon)}{\partial T} d\varepsilon = 2 T D(E_F) \int_0^{\infty} \frac{x^2 e^x dx}{(e^x + 1)^2} =$$
$$= 4 T D(E_F) \int_0^{\infty} \frac{\xi^2}{ch^2 \xi} d\xi = \frac{\pi^2}{3} D(E_F) T$$

Взаимодействие в ферми-системах.

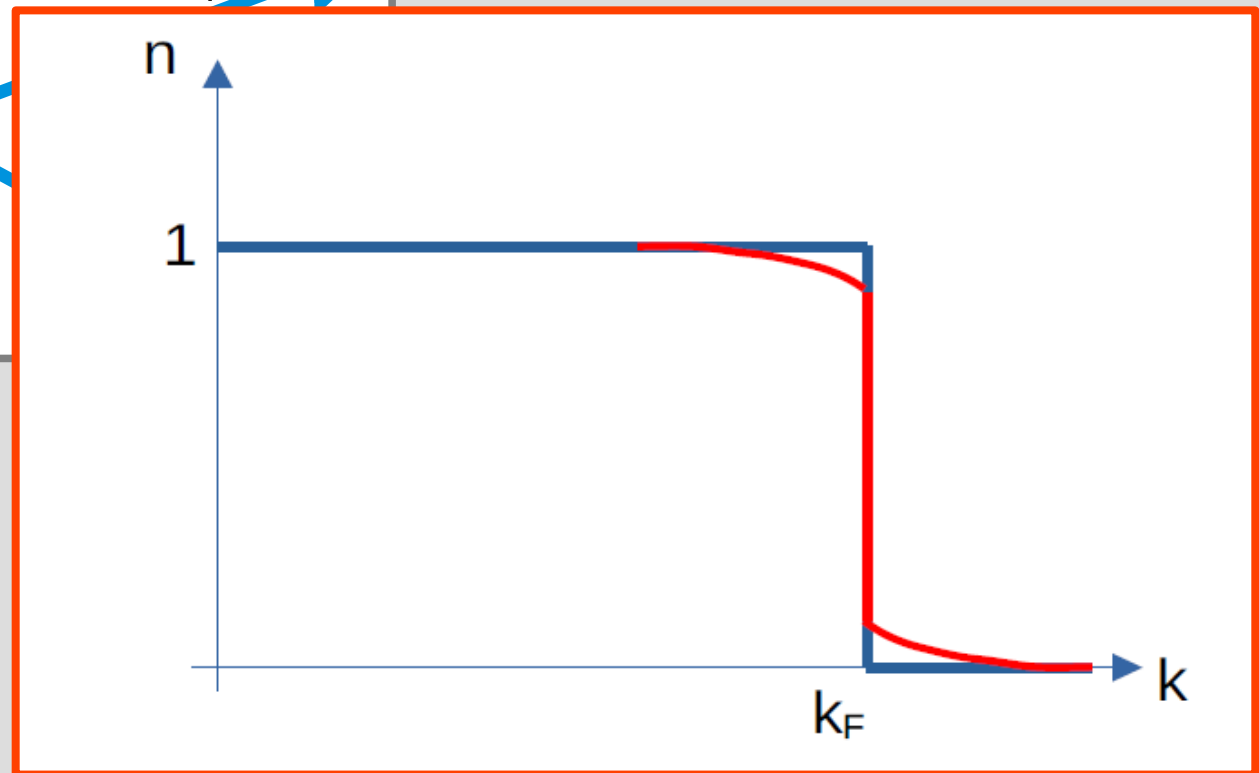


$$\vec{k}_1 + \vec{k}_2 = \vec{k}'_1 + \vec{k}'_2$$

Взаимодействие в ферми-системах.



$$\vec{k}_1 + \vec{k}_2 = \vec{k}'_1 + \vec{k}'_2$$

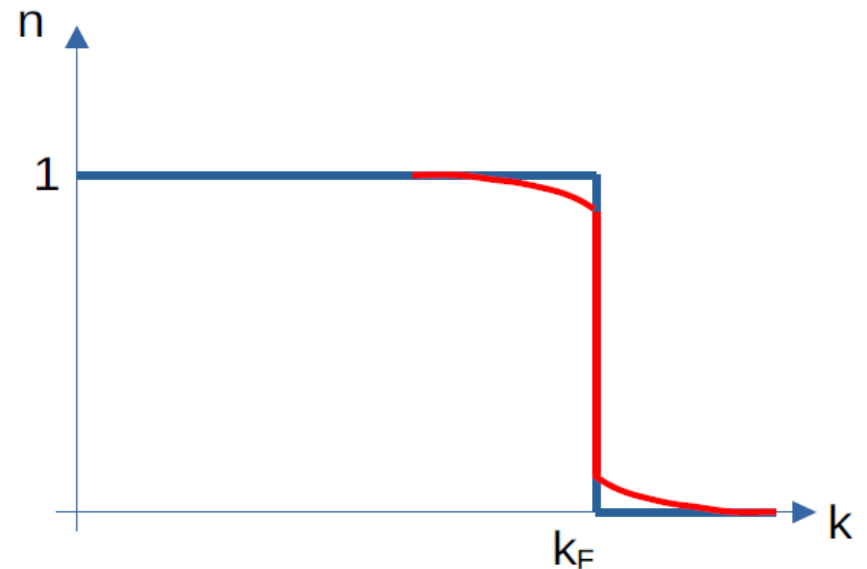


Критерий идеальности ферми-газа

$$U \ll E_F$$

$$\frac{e^2}{a} \sim e^2 n^{1/3} \ll E_F \sim \frac{\hbar^2}{m} n^{2/3}$$

$$n \gg \left(\frac{e^2 m}{\hbar^2} \right)^3 \sim 10^{24} \text{ 1/cm}^3$$



Главное на лекции

- Фермиевские импульс и энергия
- Теплоёмкость ферми газа
- Эффективная масса частицы
- Квазичастицы

$$k_F = \sqrt[3]{3\pi^2 n}$$

$$C = \frac{\pi^2}{2} N \frac{k_B^2 T}{E_F} = \frac{\pi^2}{3} D(E_F) k_B^2 T$$

$$\frac{m^*}{m_0} = \left(\frac{3}{\pi}\right)^{2/3} \frac{\hbar^2 n^{2/3}}{k_B m_0} \times \frac{\gamma}{R}$$

